

550.81(55) A1  
نیکی لالجان  
C.2

550.81 (55) A1

C.2 MFN:1777

۳۸۸۹

بسم الله الرحمن الرحيم

TN

۴۷۰

{ ۸

وزارت معادن و فلزات

سازمان تحقیقات زمین‌شناسی و معدنی کشور

گروه تحقیقات آئوژنی

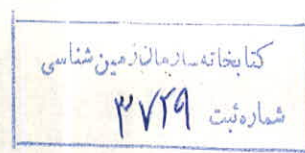
اکتشافات مقدماتی در ناحیه کپوداغ

گزارش شماره ۶۲ - ۶

توضیط :

محمد رغما علوی نایینی - فرزاد آزم

با همکاری - جواد رازفر



تشکر رات :

بدینوسیله از همکاران زیر که به نحو شایانی در تهیه این گزارش همکاری

صیماند مبذول داشته اند تشکر میشود .

جمال الدین رغوانی : نمونه گیری صحرائی ، آنالیز نمونه ها در آزمایشگاه صحرائی ،

ترسیم نقشه ها .

حسین جیروdi : نمونه گیری صحرائی ، شستشوی نمونه های کانی سنگین ، ترسیم نقشه ها

حسین طاووسی : نمونه گیری صحرائی ، جدایش نمونه های کانی سنگین ، ترسیم نقشه ها

روح الله قربانی : نمونه گیری صحرائی ، فایل و بسته بندی نمونه های ژئوشیعی ، ترسیم نقشه ها

عبدالله الله وردی : نمونه گیری صحرائی ، فایل و بسته بندی نمونه های ژئوشیعی ، ترسیم نقشه ها

از جناب آقان مهندس تدین اسلامی که در تهیه این گزارش راهنمایی های لازم را -

نموده اند تشکر میشود .

هم چنین از آزمایشگاه اسپکترومتری ، مقاطعه میقلی ، شیمی که در آنالیز تعدادی از نمونه-

های این گزارش همکاری نموده اند تشکر میشود .

فهرست مطالب :

مقدمه :

فصل اول : محل و موقعیت جغرافیایی و نحوه عملیات انجام شده (پرسنل و امکانات)

۱-۱- محل و موقعیت جغرافیایی

۲-۱- مطالعات انجام شده قبلی

۳-۱- نحوه عملیات انجام شده (پرسنل و امکانات)

فصل دوم : زمین شناسی

فصل سوم : اکتشافات جکشی

مقدمه :

۱-۲- اندیس‌های باریت

۱-۱-۲- اندیس باریت و سرب، الماد و شن

۱-۲-۱-۲- اندیس باریت بویانقلی

۱-۲-۱-۳- اندیس باریت شماره (۱) گز

۱-۲-۱-۴- ازدیس باریت شماره (۲) گز

۱-۲-۱-۵- اندیس باریت شمال شرقی قره آقاج

۱-۲-۱-۶- اندیس باریت جنوب غرب قره آقاج

۱۳ - اندیس باریت کرلسی

۱۴ - اندیس های کلسیت

۱۵ - اندیس کلسیت یا رجلی

۱۶ - اندیس کلسیت گنبد لی

۱۷ - اندیس کلسیت فلامان

۱۸ - اندیس فسفات اوراز گلدی

۱۹ - راندگی ترکمن - قازانقیه

۲۰ - فصل چهارم : بررسی های رئوشیمیائی

#### مقدمه :

۲۱ - نحوه مطالعه

۲۲ - نمونه گیری

۲۳ - آماده سازی نمونه ها

۲۴ - روش آنالیز های رئوشیمی

۲۵ - بررسی های آماری

۲۶ - نتایج بررسی های رئوشیمیائی

۲۷ - تعبیر و تفسیر آنومالیهای بدست آمده

۲۸ - آنومالیهای رئوشیمیائی T.H.M

۲۹ - آنومالیهای رئوشیمیائی فسفر

۲۸

فصل پنجم : بررسی کانیهای سنگین

مقدمه :

۱-۴- نونه گیری

۲۹

۳-۲- چگونگی انتقال نتایج بر روی نقشه‌ها

۳۰

۴-۳- آماری نتایج کانیهای سنگین

۴-۴- نتایج بدست آمده از مطالعه کانیهای سنگین و بررسی آماری آنها

۵-۴- شرح آنومالیهای کانی سنگین

۱-۵-۴ علائم بدست آمده از جیوه در مطالعات کانیهای سنگین

۲-۵-۴- آنومالیهای فسفات

۳۲

۳-۵-۴- آنومالیهای باریت

۳۳

۴-۵-۴- آنومالی سرب

۳۴

فصل ششم : تعبیر و تفسیر و نتیجه گیری زیپیشنهادات

مقدمه :

۳۵

۱-۵- تعبیر و تفسیر جیوه

۳۷

۲-۵- تعبیر و تفسیر باریم

۳۸

۳-۵- تعبیر و تفسیر سرب

٤-٥- تعبير و تفسير روی

٥-٥- تعبير و تفسير فسفـر

٦-٥- پیشنهادات

منابع

۴۹

۴۸

۴۷

طی پیشنهاد آرائه شده ( ملاک پور ، ۶۱ ) ناحیه که راغ به منظور اکتشافات

جیوه مورد توجه قرار گرفت ، این پیشنهاد به دلیل قرابت منطقه مزبور با نواحی کاندار

جیوه در ترکمنستان شوروی صورت گرفت .

بدین منظور در اواخر همان سال کارهای مقدماتی در فری شروع و در خرداد ماه سال

۱۳۶۲ کارهای صحرایی شامل نمونه گیری رئویتی ، آبرفتی ، بی جویی های چکشی

همراه با کارتوازم آزمایشگاه صورت گرفت .

فصل اول : محل و موقعیت جغرافیایی و نحوه عملیات انجام شده (پرسنل و امکانات)

۱-۱- محل و موقعیت جغرافیایی :

محدوده مورد مطالعه بالای طول جغرافیایی ۳۸ و بین عرضهای جغرافیایی ۳۰، ۵۶، ۵۷، ۶۰ واقع و سعی حدود ۲۰۰ کیلومتر مربع را در بر میگیرد . این

منطقه در شمال شرق ایران و در ۴۰ کیلومتری شمال غرب شهرستان بختور قرار گرفته ، ناحیه فوق از شمال ، غرب و شرق با همایه شمالی هم مرز بوده ، رودخانه ها و آبراههای موجود در ناحیه همگی از شعبات فرعی رودخانه اترک بوده که با جهتی کلی به سمت غرب جریان دارد .

از اهمیت ترین حوضه های آبگیر ناحیه میتوان از رودخانه سبار که در نوار مسرزی در جریان است یاد کرد .

شعبات فرعی با جهت شمال تا شمال غرب به رودخانه فوق ملحق میشوند .

ناحیه مورد مطالعه از نظر تپوگرافی نسبتاً ملایم بوده و ارتفاعات بلندی را شامل نمیشود . از اهم بلندیها میتوان از رشته ایشانک میدان در غرب ناحیه تلودر جنوب غرب و کوه پسن در شمال یاد کرد ، آب و هوای منطقه دارای زمستانهای سرد و تابستان معتدل و میزان بارش سالیانه در حدود ۱۲۰ میلی متر گزارش شده . بجزء چند جاده شوسه اصلی ، بیشتر راهها ، مواصلاتی بین روستاهای تراکتور رو بوده که این راهها تاثیر بسزایی در پیشرفت کار داشتند .

اهمالی از نژاد ترکمن و زبان رایج ترکی است. شغل اصلی اهالی کشاورزی بصورت دیم کاری و دامپوری و از صنایع دستی میتوان از قالیبافی بطور اخص یاد کرد.

### ۱-۳- پرسنل و امکانات

همانطور که قبله ذکر شد، منطقه مورد مطالعه وسعتی حدود ۲۰۰ کیلومتر مربع را پوشانده و شامل ۵ شیب ۰/۰۰۰:۵ میباشد.

کار انعام شده توسط افراد گروه درد و مرحله صورت گرفت.

#### الف: کارهای دفتری شامل تهیه عکس و نقشه‌های مربوطه:

در این مرحله آغازه عکسها طبق فتواند کس تهیه شده ردیف، دسته بندی و سپس با مطابقت بر روی نقشه‌ها اسماء رهات وغیره ثبت و با کمک استریوسکوپ گسل‌ها و شکستگی‌های عده مشخص و بعد از آبراهه کشی و نمونه گذاری، نقشه‌های نمونه گیری طراحی گردید. تراکم نمونه گذاری بیشتر در امتداد سیستم‌های گسله و شکستگی‌ها صورت گرفت این مرحله از کار بیش از ۲ ماه بطول انجامید.

#### ب- کارهای صحرائی

کارهای این بخش را نمونه گیری‌های ژئوشیمی، آبرفتی تا اکتشافات چکشی و آزمایشگاه در بر میگرفت، تقسیم کار افراد بر حسب مهارت و علاقه افراد نسبت به کار مورد نظر صورت گرفته، و پرسنل آنرا ۳ زمین شناس و ۵ تکنسین تسکیل میدارد. ضمن کارهای صحرائی وظائف محوله در کمپ از قبیل نمونه کوبی و فایل نمونه شوئی، جدایش کانیهای سنگین

و غیره انجام میگردید .

کمپ اصلی در روستای بافلق مستقر بوده و در نواحی شهال فربی و جنوب فربی ناحیه برای پیشرفت کار از کمپ های سبک استفاده شده است .

مطالعات انجام شده قبلی :

در کله ناغ مطالعات جدی و کافی برای شناخت استعداد های معدنی صورت -

نگرفته ولی بطور کلی مطالعات زمین شناسی و معدنی چندی توسط شرکت نفت و سازمان زمین شناسی در ناحیه فوق صورت گرفته در کنکاشهای معدنی ، بتانسیل های نفت و گاز مد نظر بوده که بررسی های آن توسط شرکت نفت انجام شده ، مطالعات زمین - شناسی این ناحیه در بخش شمال جاده بجنورد توسط شرکت نفت ( افشار حرب ) و در بخش جنوبی جاده توسط سازمان زمین شناسی ( سهیلی ) تحت نام نقشه ۱:۲۵۰۰۰ کوه کورخوب ، تهیه و به چاپ رسیده بررسی های معدنی از نظر بتانسیل های فلزی و غیر فلزی برای نخستین بار توسط گروه ژئوشیمی سازمان زمین شناسی در این ناحیه انجام شد .

فصل دوم : زمین شناسی :

الف : چینه شناسی

ناحیه مورد مطالعه شامل یک حوزه رسوی بوده که سنگهای آن کلاه شامل

شیل و ماسه سنگ کرتاسه پائین میباشد، که از قدیم به جدید عبارتند از:

۱- تشکیلات سر چشمده

این تشکیلات مربوط به کرتاسه پائین (بخش بالای آبسین<sup>\*</sup>) مشتمل بر مارن خاکستری و شیل مداری همراه با لایه‌هایی از سنگ آهک ارزیب تولین دار - میباشد، این تشکیلات بطور هماهنگ زیر تشکیلات سنگانه قرار گرفته که حد فاصل این دو یک لایه سنگ آهک کوکونینا<sup>\*\*\*</sup> بوده که حاوی فسیل آمونیتهاي آبسین بالا است. این تشکیلات در هسته طاقیس در بخش‌های مزبور شیته‌ای مورد مطالعه از نواحی غلامان، بالقلق و جنوب دویدخ بالا بیرون زنگ<sup>—</sup> را داشته که نسبت به سایر تشکیلات از گسترش کمتری برخوردار است،

۲- تشکیلات سنگانه :

این واحد شامل شیل سیاه رنگ حاوی کنکر سیونهای رسی آهن دار هم راه با لایه‌هایی نازک از سنگ آهک سیلتی است که دارای فسیل های آمونیت و میکروفسیل‌هایی است که سن آبسین - آلبین را برآن تعیین میکنند، در ناحیه مورد مطالعه این تشکیلات نیز در هسته طاقیس غلامان بالقلق روی تشکیلات

سر چشمده دیده میشود.

Aptian	- *
Pencil Shales	-- **
Coquina	- ***

### ۳- تشکیلات آتا می---ر :

این تشکیلات که قسمت اعظم ناحیه را می پوشاند مشتمل بر ماسه سنگ -

گلکوئنی و شیل سبز زیتونی است که بطور هماهنگ روی تشکیلات سنگانه

قرار دارد . سن آنرا از روی میکروفسیل های موجود در آن آبین -

سنومانیں تعیین گرداند .

### ۴- رسوبات دوران چهارم :

این رسوبات که در بخش های وسیعی از ناحیه مورد مطالعه گسترش دارد

مشتمل بر تراسها و رسوبات آبرفتی جوانی هستند که در بعضی مناطق

نظیر جنوب یارن چشمده در بخش غربی ناحیه مورد مطالعه از خمامت

چشمگیری برخوردارند .

### ب- بتکتونیک

ناحیه مزبور از نظر بتکتونیکی از پیجیدگی زیادی برخورد ارنیست و ظاهراء

فقط تحت تأثیر کوهزاری آلپین دچار چین خوردگی های ملایم و گسله ها

وشکستگی های چندی شده است . که درنتیجه آن طاقدیس و ناویدیس های

کم شیبی را با جهت مدور تقریباً شرقی - غربی ( یا شمال فرب - جنوبشرق )

با تمايل به سمت شمال فرب ایجاد گرده است . \*

گسله ها در دووجهت کلی یکی با جهت تقریباً فرب - جنوب شرق و دیگری

شمالی - جنوبی بوده که گسلهای دسته اول در شمیت شرق ناحیه در اطراف

د هنگه، فلامان { گسل فلامان - پرسهسو ) و گسلهای دسته دوم در غرب

ناحیه در اطراف د هنگه، بجهه دره ( گسل شاهوت - بجهه دره ) .

تمرکز دارند، در هر دو دسته گسل سیستم گسلهای مقاطعه بر آنها

لیده میشود .

رانگی وسیعی که تشکیلات سنگانه و سرچشمه را روز تشكیلات آتا میراند،

است، در بخش جنوبی ناحیه و خارج از هشت تپه‌گرافی مورد مطالعه میباشد،

ولی به لحاظ استعداد کانی سازی میتراند، مورد توجه قرار گیرد .

### فصل سی و مه :

#### اکتشافات جکشی :

تواام نمودن بین جویی های چکشی همراه با کار سیستماتیک روشیمی، کانیهای سنگی، با صرفه ترین روش برای پی بردن به پتانسیل معدنی یک ناحیه میباشد.

در ناحیه مورد مطالعه اکتشافات چکشی بعلت شرایط خاص کانی سازی که به ورت رگه و رگجه رخمنون داشته از اهمیت خاصی برخوردار بوده و پیماشها اکثراً در امتداد مناطق و خطوط گسله و به منظور رسایی عنصر جیوه صورت پذیرفته، نمودن توجهی که به رگه و رگجه ها میشد، لایه هایی که مشکوک به افق های فسفات دار مینمود چکش کاری و کارهای لازمه بر روی آنها انجام میگرفت در این منطقه رگه و رگجه های متعدد ری از باریت و کلسیت همراه با کانی سازی هایی از ترکیبات آهن و سرب بصورت ضعیف کشف که در هیچ کدام آثار جیوه بصورت عینی مشخص نشد.

#### ۱-۲- اندیسیهای باریت

##### ۱-۱-۲- اندیس باریت المادوشن .

این اندیس در طول جغرافیائی  $۳۸^{\circ} ۶' \text{ و } ۴۵^{\circ} ۵'$  و عرض  $۵۶^{\circ} ۲' \text{ و } ۵۶^{\circ} ۴'$  میتواند

شمال قریه المادوشن در مشیت توبوگرافی را ستقان قرار دارد.

در محل اندیس گسترش سنگهای شیلی و ماسه سنگی کرتاسه پائین (تشکیلات آتا میر) وجود دارد، که در محل اندیس بیشتر شیل رسنی خرد شده همراه با تناوب های

نازکی از ماسه سنگ گلوبونیتی و لایه‌های نازکی از آهک شیلی فسیل دار وجود دارد که پال شمالی طاقدیس ملایمی ( با شیب حدود ۵ ) را تشکیل میدهدند .

در امتداد گسل سراسری شمال جنوبی غلامان - هرسه سور در محل اندیس کانسی سازی از باریت و گلسیت همراه با مقدار کمی اولنیت و گالن دیده میشود این رگه با آر زیموت  $315^{\circ}$  حدود ۱۰ کهتا مسافتی حدود ۱۰۰ متر بیرون زدگی دارد شیب لایه ۸۵ به سمت شمال غرب میباشد در این محل از عمق ۵ / ۰ متری نمونه برداری برای زئوپیتی و اسپکترومتری و گانی سنگین بطریقه تفلیظ بشماره ۱، A، 62، ۶۲ مصنوع شده است . و هم چین دو نمونه زئوپیتی به شماره‌های P-62-H، ۲، A جهت آزمایش زئوپیتی و اسپکترومتری برداشت شد که آزمایش جیوه در محل بطریقه دی فینل کاریابی نهفته بوده است . در ضمن دو نمونه سنگ از رگه فوق برای مطالعه مقاطع صیقی به شماره‌های ۵- ۶۲-H-A-۵ و ۶- ۶۲-H-A-۶ برداشت شده نتایج مطالعات فوق در ضمیمه شماره ۷ قید شده .

بازدید کنندگان بف - آزم - م. علوی نائینی

## ۱-۲ - اندیس باریت بویا: ظلی

این اندیس در طول جغرافیائی  $45^{\circ} 56' 45''$  و عرض جغرافیائی  $38^{\circ} 48' 11''$  در ۲ کیلومتری شمال قریه بویانقلی در ۱ / ۵ کیلومتری جنوب جاره شوسه بیکپولاد - مزاریق قرار دارد در این محل گسترش شیلی و ماسه سنگی (تشکیلات آتا میر ) وجود را شده که در بین آنها رگه‌های نازکی از باریت و گلسیت به خامت حد اکثر ۱ سانتیمتر دیده میشود این کانی سازی در امتداد زون گسله با غلق بیکپولاد قرار داشته

که در زون گسله شمالی - جنوبی (  $N 15^{\circ} E$  ) کانی سازی باریت همراه با آهن

بصورت هماتیت و گوئیت در ماسه سنگ سبز رنگ وجود داشته - شب این رگها

۸. بسمت غرب می‌باشد . در خطوط دره و یا گسل‌های با جابجایی ک---م

برش گسله در سطح رگه دیده می‌شود . مقاطع بر رگهای ( Skikenside )

فوق الذکر نیز با کانی سازی از باریت و کلسیت دیده می‌شود آزمیت رگهای اخیر

(  $S 10^{\circ} E$  ) می‌باشد ، مقدار ناچیزی گالن در متن باریت وجود دارد

بطور کلی مقدار رگه‌ها و کانی سازی کم و در سطح اقتصادی ، قابل بهره برداری

بنظر نمیرسید . از رگهای دو نمونه به شماره های P-62-H-3a,b برداشت

شد . نتایج مطالعات اورمیکروسکوپی نمونه‌های فوق در ضمیمه شماره ۷ قید شده .

بازدید گنده : فد آزم .

### ۳-۱-۲- اندیس باریت شماره ( ۱ ) شمال قریه گز

آدرس :

این اندیس در طول جغرافیائی "  $55^{\circ} 14' E$  " و عرض جغرافیائی "  $38^{\circ} 1' N$  " می‌باشد

در ۶ کیلومتری شمال راه که راه رسیدن به این اندیس جاده فرقی

مشعب از جاده بیک پولا ر - گزه سمت شمال . اندیس مذبور در ۵۰ متری محلی

مو سوم به بهار چشمیه قرار دارد .

بررسی زمین شناسی : از نظر زمین شناسی سنگ‌های تشکیل دهنده ناحیه مورد نظر

گه اندیس فوق را در بر می‌گیرد ، ماسه سنگ‌های گلگوکونیت دار ، همراه با

شیل بوده که مربوط به تکیلات آنامیر با سن کرتاسه تحتانی ( سنومانین ) با مور فولوئری

نسبت ای پست میباشد .

در این ناحیه چندین رگه و رگچه در جهات مختلف دیده میشود که مهمترین آنها رگهای به طول تقریبی ۴ متر و عرض تقریبی ۰ . ۹ سانتی متر در بالای ارتفاعات رخمنون دارد . جهت این رگه شمال شرق ، جنوب غرب بوده که در بین لایه های ماسه سنگی واقع شده ، جهت شبیلایه بطرف شمال امتداد دارد .

با پس جویی که در منطقه بعمل آمد دنباله این رگه در حدود ۰ . ۰ . ۵ متر بطرف شرق - بیرون زدگی دارد . رگچه های فراوان دیگری نیز در حوالی این رگه در جهات مختلف دیده شده که عرض بعضی از این رگچه ها به حدود ۰ . ۲ سانتی متر میرسد .

یک نمونه سنگ به شماره R-62-H3 که از این رگه جهت آنالیز شیمیائی به روش میکروشیمی دی فینل کاربوزان برداشت شد ، که با توجه به نتیجه آنالیز هیچ گونه آثاری از وجود حیوه تائید نشد . همراه بازیت آثاری از آهن بصورت اکسید اسیون پیریست دیده شده . چنانچه پی جویی های بیشتری در این زمینه انجام شود ، ممکن است به رگه های باریت اقتصادی تری برسورد نمایم ، از نظر زنگ این رگه باریت احتمالاً منشاء هیدرورتمال را شده که در شکستگی های موجود در ماسه سنگها بوجود آمده است .

بازدید گنده : ج . رادر

۴-۱-۲- اندیس باریت شماره ۲ : ( شطل قریه گز )

آدرس : این اندیس در طول جغرافیائی " ۶۰° ۳۸' و عرض جغرافیائی " ۲۰° ۵۶' در یک کیلومتری شمال دهکده گز در مسیر جاده فرعی اندیس شماره ۱ در طرف راست جاده

میاشد، راه رسیدن به این اندیس همان راه فرعی منشعب از جاره بیک پولار گز  
میاشد از نظر زمین شناسی سنگهای در برگیرنده این اندیس ماسه سنگ های گلوبونیت  
دار همراه با شیل میاشد. رگه باریت در این نقطه به مقدار خیلی کم رخنمن راشته  
که با مقداری خاک برداری به رگه اصلی برخورد کردیم. احتمالاً این رگه دنباله  
همان رگه باریت شماره ۱ بوده، چون دارای جهتی شمالی - جنوبی میاشد با توجه  
به شباهت این رگه با رگه قبلی نمونه سنگی از محل برداشت نشد.  
بازدید کننده موج رادر فر

### ۵-۱-۲- اندیس باریت شمال شرق قره آقاج

این اندیس در طول جغرافیائی  $۴۵^{\circ} ۳۵' ۳۸'$  و عرض جغرافیائی  $۵۶^{\circ} ۷' ۲۸'$  در ۲ کیلومتری شمال شرق دهکده قره آقاج واقع شده است که بهترین راه رسیدن به این  
اندیس راه فرعی منشعب از جاره اصلی کیلو پنجه به قره آقاج میباشد.  
از نظر زمین شناسی سنگهایی که اندیس مورد نظر را در بر میگیرد ماسه سنگهای  
گلوبونیت مروط به تشکیلات آتا میر با سن کرتاسه تحتانی (سنومانین) میباشد.  
کانی سازی در ناحیه بصورت رگه ای از باریت بعرض تقریبی  $۰-۳$  سانتی متر که در بعضی  
نقاط عرض رگه افزایش پیدا کرده، طول تقریبی شمال شرقی جنوب غربی بوده و احتمالاً  
منشاء ای از هیدرورتمال راشته که نکستگیهای موجود در سنگ را پر کرده است، از این  
رگه نمونه ای با شماره H-3-G-62 باشد وجود یا عدم وجود جیوه برداشت شده  
با آنالیز میکروسپوئی بروش بیفینسل کار بازون عدم حضور جیوه در نمونه یار شده قطعی گردید  
چنانچه پی جویی های بیشتری در اطراف زادیه بعمل آید احتمالاً ممکن است رگه ای

مشابه دیگری از این باریت بدست آید که از نظر اقتصادی میتواند مفید واقعگردد.

گزارش دهنده . قربانی

### ۶-۱-۲- اندیس باریت جنوب غربی قره آقاج

این اندیس در طول جغرافیائی  $۳۵^{\circ} ۳۸^{\circ} ۶^{\circ}$  و عرض جغرافیائی  $۴۱^{\circ} ۳۲^{\circ} ۵۶^{\circ}$

در ۶ کیلومتری جنوب غرب دهگاهه قرار دارد . راه رسیدن به این اندیس از راه فرعی منشعب از کیلو پنجه در بستر رودخانه بطرف حنوب تا محل اندیس میباشد .

سنگهای در برگیرنده این اندیس ماسه سنگهای گلوبکیت دار مربوط به تشکیلات آتاامیر باسن کرتاسه تحتانی ( سنومانین ) میباشد از نظر مورفولوژی بعلت وجود ماسه سنگ ارتفاعات بلندی را تشکیل میدهد کانی سازی در رگچه هایی بعرض ۵ تا ۱۰ سانتی متر بصورت شبکه ای در بین شکستگی هایی که در ماسه سنگها بوجود آمده بود از منشاء هیدروترمال تزریق گردیده . از این رگچه ها نمونه ای جهت وجود یا عدم وجود جیوه بشماره ۶-H-62 برداشت گردید که جهت آنالیز میکروسیمی سروش دستینسل کار با زون نتیجه ای مشکوک به حضور جیوه را دارد است که چنانچه جواب قطعی منفی از جیوه بدست آید این رگچه ها نمی توانند از نظر اقتصادی مفید و قابل بهره برداری باشد .

گزارش دهنده . قربانی

### ۷-۱-۱- اندیس باریت کرکولینی

این اندیس در طول جغرافیایی  $۴۳^{\circ} ۳۸' ۰''$  و عرض جغرافیایی  $۴۹^{\circ} ۵۶' ۰''$  در یک کیلومتری شمال شرق کرکولینی در محلی موسوم به خجهلر قرار دارد .  
 در سری ماسه سنگهای گلوبونیت دار آتا میر مربوط به کرتاسه تحتانی ( سنومنین ) رگه فوق رخنمون دارد رگه ضخامتی حدود  $۳۰-۲۵$  سانتی متر و بر روی زمین در حدود  $۳۰۰$  متر قابل تعقیب میباشد . رگه های فرعی رگه فوق را قطع می نماید جهتی شمال غرب جنوب شرق را شده در اکتشافات چکشی که در طول رگه بعمل آمد بجز کانی باریت اثری از کانی سازی اقتصادی دیگر نداشت ، یک نمونه سنگ بشماره ۶۲-H-A-2 از رگه فوق به منظور دقیق بیشتر و آزمایش دقیق برداشت گردید . نتایج مطالعات اور میکروسکوپی نمونه فوق در ضمیمه شماره ۷ درج گردید .

بازدید کنندگان . علوی - رادرفر

### ۷-۲-۱- اندیس سهیل کلسیست

۷-۲-۲- اندیس کلسیت یارچلی :

آدرس :

این اندیس در طول جغرافیایی  $۴۱^{\circ} ۶۶' ۰''$  و عرض جغرافیایی  $۳۵^{\circ} ۴۶' ۲۴''$  در  $۰-۵$  متری شمال دهگاه یارچلی واقع ، بهترین راه رسیدن به این اندیس جاده موسسه حصارچه - خشلی بوده که جاده ای فرعی منتهی به ده یارچلی و اندیس فوق میشود .  
 بررسی زمین شناسی و معدنی : سنگهای تشكیل رهندۀ این ناحیه متعلق به تشکیلات آتا میر

مریوط به سن کرتاسه تحتانی (سنومانین) شامل شیل و ماسه سنگ بوده که در این ناحیه قسمت اعظم را ماسه سنگهای رانه ریز گلکونیت دار تشکیل میدارد.

شبکه‌هایی از رگچه‌های لگستی بعرض ۰-۱۵ سانتیمتر در میان ماسه سنگها رخنمند داشته، همراه با رگچه‌های موجود، آثار اکسیداسیون آهن بصورت گوچیت، هماتیت لیمونیت دیده می‌شوند علت کانی سازی فوق رامیتوان فرع وجود شکستگی‌های متعدد ری که در میان ماسه سنگها خ داده پنداشت، که دارای جهتی شمال غرب-جنوب‌شرق است. کانی سازی فوق ارزش اقتصادی نداشته و علت برداشت نمونه بخاراط وجود یا عدم جیوه در رشکستگی‌های مزبور است. دریک نمونه سنگ به شماره R-62-H-2 که از محل برداشت شد، آزمایش میکروشیمی جیوه به روش دی‌فینل کاربوزان نتیجه‌ای منفی داشت.

بازدید گنده ج-رادفر

اندیس یارچلی:

آدرس:

این اندیس در طول جغرافیایی ۳۶°۱۷' و عرض جغرافیایی ۵۶°۲۴' ۳۶ درگانار ده یارچلی قرارگرفته، بهترین راه رسیدن به این اندیس جاره شوشه حصارچه خشلی بوده که جاره‌ای فرعی منشعب از جاره، اصلی به ده یارچلی و اندیس فوق میرسد.

بررسی زمین‌شناسی سنگهای تشکیل دهنده ناحیه مورد مطالعه ماسه سنگهای گلکونیت دار

و شیل های مداری مربوط به آتمیر با سن کرتاسه تحتانی (سنومانیون) میباشد.

رگه های متقاطع از ترکیبات آهن رار به عرض ۱ تا ۱۵ سانتیمتر در بین شیل های سیاه رنگ مداری دیده میشود. که آثار لکسید اسیون آهن بصورت کانی های لیمونیت، گونیت، جاروسیت ه مراده بالکسیت میباشد.

در اثر شکستگی هایی که در شیل ها بوجود آمده رگه های مزبور جانشین شده است،  
معونه گرفته شده باشماره R-62-H-4 از این رگه ها صرفاً بخاراطر وجود یا عدم  
جیوه در ناحیه میباشد. آنالیز میکروسیمی جیوه را ل بر عدم وجود این عنصر در رگه  
فوق است.

بازدید کننده ج. رادرفر

## ۲-۲-۲- اندیس گلسیت گبدلی

این اندیس در طول جغرافیایی  $3^{\circ} 49' 38''$  و عرض جغرافیایی  $49^{\circ} 56' 55''$  در حدود چهار کیلومتری جنوب شرقی روستای گبدلی واقع شده است.  
از نظر زمین شناسی ناحیه مور، نظر در یک زون گسله با امداد شمال غرب - جنوب  
شرق قرار گرفته است، سنگها که بصورت میزان این اندیس را در بر گرفته شیل های  
قلمی مربوط به تشکیلات سرچشمه با سن کرتاسه تحتانی (آپسین) میباشد. رگه  
مور نظر در یال جنوی یک آنتی کلین قرار دارد.

کانی سازی که در ناحیه روی راره است، رگه ای، از جنس گلسیت رندان سگی با  
عرض تقریبی پنج سانتی متر که در یک خط یا زون گسله با جهت شمال غرب جنوب شرق

از منشاء هیدرولیک پر شده است کانیهای همراه با این گلسمیت مقدار کمی گونیت میباشد که رنگ آنرا بصورت لیموئی در آورده است این رنگ در طولی حدود چهار کیلومتر گسترش دارد که از آن نمونه ای با شماره P-62-H-1 برداشت شده است که مورد آزمایش‌های  $Hg, T.H.M$  قرار گرفت و با نتیجه‌ای که بدست آمد حضور جیوه در این نمونه مشکوک میباشد چنانچه از نظر جیوه جواب قطعی منفی بدست آید از نظر اقتصادی پاژردید کننده: فرآذ آزم

### ۲-۲-۳ اندیس گلسمیت غلامان

این اندیس در طول جغرافیائی  $^{\circ} ۵۰^{\circ} ۸^{\circ} ۳^{\circ}$  و عرض  $۲۰^{\circ} ۵۵^{\circ} ۵۶^{\circ}$  در ۶ کیلومتری جنوب غلامان قرار دارد در محل اندیس گسترش سنگهای کرتاسه پائین مشتمل برآهک شیلی سیا رنگ ( تشکیلات سنگانه ؟ ) و نیز روی آنها تشکیلات شیل و ماشه سنگی آتا میر دیده میشوند . که با ثیب بسیار کم حدود ۱ برجه به سمت شمال شرق یال شمالی طاقدیس غلامان را بوبود آورده‌اند ، این محل در زون گسله غلامان پرسه سو قرار دارد که ردیفی از گسلهای شمالی - جنوبی ( شمال غرب - جنوب شرق ) همراه با سیستم درزه موازی و متقاطع بر آن سنگها را چهار خرد شدگی شدید نموده است حرکات جابجائی این گسل ها نسبتاً ناچیز میباشد .

در درزهای گسل ها کانی سازی از گلسمیت همراه با اکسید آهن بوجود آمده است که بدلیل حساسیت ناحدیه نمونه برداری نسبتاً منظمی از آنها صورت گرفت . در یک شکستگی اصلی با جابجائی بسیار کم معنوان مینا نمونه G4 و در سه شکستگی سمت غربی آن به ترتیب نمونه‌های G4/1, G4/2, G4/3 و در یک شکستگی سمت

شرقی آن نمونه ۶۴/۱- جهت آنالیزهای رئوشیمیائی و کانی سنگین خصوصاً برای تعیین جیوه از کانی سازی گلست آهن دار برداشت گردید ، گلیه شکستگی ها جهشی تقریباً شمال جنوبی را نمایند و شبیع عمودی دارند .  
ضخامت این رگها کم حدود ۵ تا ۱۵ سانتی متر است . آزمایش کیفی حضور جیوه را در نمونه ۶۴/۱+ محرز میدارد . دو نمونه (۱- ۶۴-H و ۶۲-H- (+64-1) برای مطالعات اورمیکروسکوپی در نظر گرفته شد که نتایج در ضمیمه شماره ۷ قید گردیده بازدید کنندگان : آزم - قربانی

#### ۴-۲- اندیس فسفات اورنگلندی

این اندیس در طول جغرافیائی  $38^{\circ} 38' 44''$  و عرض  $52^{\circ} 44' 24''$  و ده کیلومتری دهدزاده تازه قلعه هر که قرار دارد .

در پی جوئی چکشی آنومالی بدست آمده از نتایج فسفات ناحیه ، این محل مورد بررسی قرار گرفت ، در این جا گسترشی از لایه های شیل و ماسه سنگ تشکیلات آتا سیر وجود دارد ، شبیلایه بسیار کم حدود ۱۰ درجه به سمت شمال غرب . بعلت خاصیت فراسایش شیل های آرژیلی بجز قسمت فوقانی که اکثر ماسه سنگ است بقیه پوشیده بوده ، لذا در پیمایش عرضی لایه ها بجز چند سنگ از دللوویم ( *delluvium* ) به شماره P-62-H-5 از قسمت پوشیده نمونه ای برداشت نگردید ، ولی در قسمت فوقانی ماسه سنگی از لایه های مشکوک به فسفات نمونه هایی به شماره P-62-H-5a, b, c برداشت شده که آزمایش فسفات روی زمین موئید وجود فسفات در نمونه ها می باشد .

نمونه‌های دلوویم (بخش شیلی) ، مقدار فسفات بیشتری را نشان میدهند ، ولی در هر حال مقدار این کانی در نمونه‌های گرفته شده در حد بالا و قابل توجه نبوده و افق پر عباری گشته نشد . نتایج آزمایشات فسفات این نمونه و سایر نمونه‌های پراکنده ای که از ناحیه برداشت گردیده در ضمیمه شماره ۶ آورده شده است .

بازدید کننده — آزم، رضوانی

#### ۵-۲-۲- راندگی تنگه ترکمن — قازانقیه

همانطوریکه در بخش زمین‌شناسی توضیح داره شد راندگی شرقی و غربی نسبتاً مهمی در جنوب ناحیه مورد مطالعه (خارج از ۵ شبکت تهیوگرافی) بین رشته کوه‌های زرنا در شط ط راندگی و رشته کوه سارو در جنوب راندگی و جستجو در دارد که تحت اثر آن تشکیلات سرچشمه و سنگانه روی تشکیلات آثار امیر راند شده اند . بجهت راندگی روبه شمال و عمل کرد آن در طولی حدود ۷۵ کیلومتر بخط مستقیم از حوالی تنگه ترکمن تا رهگاه قازانقیه دیده میشود .

به لحاظ شکستگی‌های مهمی که در اثر این راندگی در سنگها ایجاد شده موقعیت مناسبین جهت کانی ساری جیوه میتواند بوجود آید لذا اقدام به نمونه گیری از محل‌های مناسب آن شده . بدین ترتیب ۵ نمونه کانی سنگین و زیوشهایی به شماره‌های ۶۲-H-2108 و ۶۲-H-2112 از محله‌ای تقاطع فرعی‌های تنگه ترکمن با رودخانه آب خرتوت ، زرنه ، خرتوت و تقاطع دره‌های نظر و رویخانه خوتوت و نیز تقاطع رود چهل کزار برداشت گردیده که پس از مطالعه کانی شناسی در هیچ یک از نمونه‌ها جیوه (سینابر) مشاهده نگردید .

### فصل چهارم : بررسی های ژئوشیمی

مقـدـه ۴ :

ناحیه مورد مطالعه به مساحت تقریبی ۲۰۰ کیلومتر مربع شامل پنج شیستت  
۱:۵۰۰۰ حصارچه - رویدخ بالا - بک پولاد - راستقان - تازه قلعه ترکه

میباشد .

در این پنج شیستت جمعاً ۷۴ نمونه ژئوشیمی برداشت شده است . ناحیه مزبور از نظر  
توبوگرافی نسبتاً هموار بوده ولی، کلاً از رخنمون های سنگهای گرتاسه تحتانی پوشیده  
است و بالطبع تمام ناحیه مورد نمونه گیری فرار گرفته است ، تراکم نمونه گیری در کل ناحیه  
تقریباً یک نمونه در ۳ کیلومتر مربع است . مبنای انتخاب نمونه ها بردو اساس بوده  
یکی بر اساس گسلهای موجود در ناحیه ( که قبل از مطالعات صحرایی توسط  
فتورولوژی و نیز بهره گیری از نقشه های ۱ ایران و نیز نقشه ۱  
۲۵۰۰۰۰ ) قسمتی از ناحیه بنام نقشه کوه کور خود انجام شده است ) و دیگر بر اساس پوشش‌اندن  
سطح کل ناحیه جبهت اطمینان از انتشار عناصر میباشد .

### ۱-۳- نحوه مطالعه :

هدف از بررسی ژئوشیمیائی در ناحیه مشخص نمودن انتشار یافته جیوه و بط ور  
جنبی فلزات سنگین و نیز فسفات بوده است . که با توجه به مطالعات کائیهای سنگین ،  
اکتشافات چکشی ، بررسیهای ژئوشیمیائی ، در این ناحیه برآورد و گرد ناحیه مزبور  
همانطور که در بخش زمین‌شناسی ذکر شده است ، هستگ ( شیل و ماسه سنگ های -  
گرتاسه تحتانی ) بوده است . و نمونه گیری با توجه به وضع تکتونیکی و تجربه های زمین  
شناسی ، تحرک فیزیکی و شیمیایی عناصر مورد انداده گیری ، وجود آبودگیها و غیره در

کلیه شبکه آبریزها تعمیم داره شده است . بدین ترتیب ملاحظه میشود که نمونه‌گیری  
یکواحت ببوده با توجه به گلیه شرایط فوق الذکر صورت گرفته است . برای مثال تراکم  
نمونه‌گیری در منطقه گسله حدود رو برابر مناطق دیگر میباشد .

رسوبات رودخانه‌ای Stream-Sediment بهترین نادره مورد نمونه‌گیری انتخاب  
گردیده است .

### ۳-۳- نمونه‌گیری :

با توجه به عوامل فوق الذکر محله‌ای نمونه‌گیری بر روی نقشه‌های تهیوگرافی و نیز  
عکس‌های هوایی به مقیاس ۱:۵۰۰۰۰ تعیین گردیده و علامت گذاری شده است و --  
نمونه‌گیر بعد از پیدا کردن محل نمونه اقدام به شماره گذاری در روی عکس و یا نقشه‌های  
که هزاره دارد نموده و شماره مذکور را در دفترچه فیلد همراه با سایر مشخصات ثبت‌آمی نماید  
برای خودداری از تکرار شماره‌ها برای هرنفر شماره خاصی در نظر گرفته شده است در  
جدول نمیمیه ( شماره ۵ ) شماره‌هایی که بر هر فرد نمونه‌گیر اختصاص یافته قید  
گردیده نمونه از جدیدترین رسوبات آبرفتی بوسیله بیلچه‌های کوچک آهنه برداشت  
و بوسیله الک آلومینیومی در محل الک و زرات کوچکتر از ۲ میلیمتر در کيسه های  
پلاستیکی جمع‌آوری شده است . مقدار نمونه بطور متوسط در حدود ۲۰۰ گرم میباشد .  
در محل هایی که نمونه با استوار بستر فعال آبریزها و رودخانه‌ها گرفته شود عمل الک  
شدن در آب انجام شده است ( Wet-Sieving ) شماره نمونه‌ای که بطريق فوق تعیین  
گردیده با رنگ قرمز در محل ثبت و بر روی کيسه حاوی نمونه قید گردیده ، حتى المقدور  
سعی شده است شماره نمونه در محل ثبت گردد . ولی در بعضی از محله‌ها بعمل نبودن  
شرایط طبیعی و حتی عدم امکان حمل سنگ برای ثبت شماره نمونه، شما زه گذاری مسیر -

نشده است ، این محلها مجموعاً کمتر از ۵٪ کل نمونه ها است . برای هر نمونه مشخصات لازم شامل : ارتفاع محل ، وضع جغرافیائی ، جنس سنجگاهی اطراف ، مقدار آب رودخانه آبریز ، وضع بستر ، تراکم گیاهان آلودگی و ... در دفترچه یارداشت قید شد .  
است . چنانچه زمین هناس یا تکنسین قادر به تشخیص سنگها در محل نبودند ، نمونه ها به کم اصلی حمل و بعد از شناسایی در نقیرچه مربوط یارداشت میگردند . هر روز بعد از پایان کار صحرا بین و مراجعت به کم کلیه نمونه های جمع آوری شده تحويل مسئول آماره سازی نمونه ها شده و شماره نمونه های برداشت شده بوسیله نمونه گیر بر روی نقشه پیشرفت ( Progress-map ) بیاره شده است . جهت کنترل تایی - ج آنالیزها در آزمایشگاه صدرایین مبارت به نمونه گیری تکراری شده است ، مجموع نمونه های تکراری در حدود ۱۵٪ کل نمونه ها است ، محل کلیه نمونه ها بر روی نقشه های ۱:۵۰۰۰ تهیوگرافی ( نقشه های شماره I الی V ) ثبت و در محلهای کم نمونه گیری توأم رئوشیمی - کانهای سنگین بعمل آمده هر دو نمونه با یک شماره کده قید شده است . مقدار نمونه های جمع آوری شده در هر ثبت در ضمیمه شماره ۴ و همچنین در راهنمای نقشه های نمونه گیری به تفکیک درج گردیده است .

۳-۳- آماره سازی نمونه ها :

همانطور که ذکر شد کلیه نمونه های رئوشیمی در موقع برداشت الک میگردد و ۲۰۰ گرم از نمونه های الک شده بعد از سته بندی و شماره گذاری به کم اصلی ارسال و به مسئول آماره سازی نمونه ها " تحويل می شود .

در کم نمونه های خیس در شرایط جزوی خذلک وبا بقیه نمونه ها با الک ۸۰

مشالک میگردد . ذرات الـ اـ کـ شـ دـهـ کـ درـ شـ تـ آـ نـ هـ کـ مـ تـ اـ زـ . مـ شـ اـ سـتـ

در تـوـیـیـهـاـیـ پـلاـسـتـیـکـ جـمـعـ آـورـیـ وـ شـمـارـهـ نـمـونـهـ کـ روـیـ کـیـسـهـ پـلاـسـتـیـکـ بـودـهـ اـسـتـ  
در روـیـ تـوـبـوـپـ باـ اـتـیـکـ ثـبـتـ . کـلـیـهـ نـمـونـهـهـاـهـ مـرـاهـبـاـ نـیـسـتـ هـاـیـ مـرـبـوـطـهـ نـرـ سـرـیـهـاـیـ  
مـخـتـلـفـ بـهـ آـزـمـایـشـگـاهـ اـرـسـالـ مـیـگـرـدـ .

### آنالیز : ۱

#### ۳ - بررسی های آماری :

با درنست راثتن نتایج نمونههای تکاری صحت و سقـم آنالیزها مورد مطالعه قرار گرفت روشنی که در این بررسی بکار رفته مبنی بر محاسبه و ترسیم عبارلات خطی بر مبنای اختلاف آنالیزها استوار است چگونگی این روش در نشریه محاسبات آماری در زئوژیمی کاربردی - تدین ۱۳۵۹ تشریح شده است .

نتایج محاسبات مؤید صحت آنالیزها بطور کامل میباشد . کلیه نتایج حاصله برای هر نمونه روی نقشه های ۵۰۰۰۰:۱ در محل مربوط ثبت گردیده است .

#### ( نقشه های شماره VII-VIII-IX-X )

در محل هر نمونه نتایج H.M و فسفات به ترتیب از چپ به راست قید شده است . برای محاسبه پارامترهای مورد لزوم جهت تعیین آنومالی ، بر روی کلیه نتایج حاصله بررسیهای آماری اعمال شده است . تشخیص مرز زمینه - آنومالی و همنین تعیین گروههای مختلف آنومالی بر مبنای پارامترهای میانگین ، انحراف معیار و ... استوار است . این پارامترها بكمک منحی های نسبی جمعی برآورده و به مدد روابط آماری محاسبه گردیده است . نحوه چگونگی برآوردها و محاسبات در نشریه فوق به تفصیل

بیان شده است بنابراین از ذکر روش خود راری و نتایج بدست آمده بصورت جدول زیر خلاصه میگذرد.

آنومالی مطلق	آنومالی حتمی	آنومالی احتمالی	آنومالی ممکن	شروع آنومالی	نوع انتشار	نوع آنالیز
140 >	96-140	67-95	47-66	46	لا نرمال	T.H.M
400 >	255-400	161-254	101-160	100	نرمال	P <sub>2</sub> O <sub>5</sub>

۶-۳- نتایج بررسی های رئوشنیما یا

بررسیهای رئوشیمیابی در ۹ قسمت و بشرح زیر مورد مطالعه قرار میگیرد ولی نتیجه نهایی در فصل ۶ با توجه به سایر نتایج حاصله منعکس خواهد شده چگونگی انتقال نتایج بر روی نقشه‌ها نظیر سایر گزارش‌های قبلی بوده با تفاوت اینکه این نتایج بر روی بیضی‌های کوچکی بر نگسبیز برای T.H.M و سیاه برای فسفات مشخص گردیده است.

۴- روش آنالیز رئوشعی

در این برنامه از روش رنگ سنجی آزمایشات مختلف استفاده شده است .

بطور گی از چند روش جهت آزمایشات رنگ سنگی برای مجموعه فلزات سنگین، فسفات،

جیوه استفاده شد که بشرح کامل هر یک در جزو چند روش آزمایشگاهی و محاسباتی در زئوژیمی کاربردی، آزم - ۱۳۶۲ آورده شده است.

روش رنگ سنگی جیوه: در اینجا مینا، روش استانتون جهت تعیین کی جیوه مورد استفاده قرار گرفت که بدلیل اشکالاتی در مرحله ذوب نمونه نتایج مورد قبول نبوده است. رنگ سنگی T.H.M از تست بلوم جهت تعیین مجموعه فلزات سنگین استفاده شده که نتایج با ضریب ۱ برای محاسبات روی نقشه وارد گردیده است.

رنگ سنگی فسفات: طبق نوصه های مهندس ملاکور مقدار فسفات در نمونه های زئوژیمیائی ناخیه مورد بررسی قرار گرفت و از روش شاپرو جهت این آزمایشات استفاده گردید منتها جهت کاربرد زئوژیمیائی با تعییراتی از تعیین درصد فسفات به تعیین مقادیر جزئی (Trace) تبدیل را داشته که یا این ترتیب تعیین ppm فسفات نمونه ها میسر گشت.

در ضمن از روش گفین دی فیل کاربازون برای تعیین جیوه در نمونه های اکشاف چکشی و نیز برخی از نمونه های مراکز آفمالی استفاده بعمل آمده است.

### ۷-۳- شرح آنومالیهای زئوژیمی

آنومالیهای زئوژیمیائی بست آمده فسفات، T.H.M روی نقشه های ۵۰۰۰:۱ از شماره XI تا شماره X-V به تفکیک برای «نمونه مشخص شده است و همچنین با توجه به تحرک شیمیابی و فیزیکی و اجتماع نمونه ها محدوده آنومالیها تعیین و شماره گذاری شده است که آنومالیها، مهم زئوژیمیابی با توجه به نتایج حاصله از اکشافات چکشی، کانیهای سنگین، چینه شناسی و تکنوبیک در فصل آخر مورد تعبیر و تفسییر

قرار میگیرد .

T.H.M ۱-۷-۳- شرح آنومالیهای دئوشیمیابی

شیت تازه قلعه

در این شیت یک آنومالی در قسمت شمال غربی نقشه بر اساس نمونه آنومالی

ممکن T.H.M ترسیم گردیده است . این آنومالی در ارتباط با آنومالی شماره ۳ -

راستقان بنظر میرسد .

شیت راستقان

در شیت راستقان دو آنومالی نسبتاً کوچک او T.H.M بشرح زیر بدست آمده است .

آنومالی شماره ۲ - این آنومالی از یک نمونه آنومالی ممکن T.H.M تشکیل یافته

که به سبب انطباق با اندیس باریت و سرب الماد و نیز انطباق با آنومالی کانی سنگین

مورد توجه قرار گرفته است .

آنومالی شماره ۳ ( این آنومالی از اجتماع نمونه آنومالی ممکن است T.H.M در

بخش شمال شرقی شیت راستقان بدست آمده است که بعلت انطباق با مقادیر زیاد

باریت کانی سنگین می تواند مورد توجه قرار گیرد .

شیت دویدونخ بالا

در این شیت یک آنومالی کوچک T.H.M با شماره ۴ روی نقشه آنومالیها مشخص

شده، که از اجتماع دو نمونه آنومالی احتمالی و یک آنومالی ممکن تشکیل یافته است .

انطباق این آنومالی با باریت فراوان مشخص شده از کانی سنگین ، همبستگی نشان

میدهد .

### ۳-۷-۲- شرح آنومالیهای رئوشیمیائی فسفات

#### شیت تازه قلعه :

در شیت تازه قلعه ترکه اسه آنومالی فسفات رسم شده است که آنومالی اول و دوم در قسمت مرکزی نقشه که اولی بر اساس یک نمونه آنومالی ممکن فسفات و زبرگری آنومالی شماره ۲ که از مجموعه سه نمونه آنومالی نسفات که یک نمونه آن آنومالی مطلق و دو نمونه دیگر در حد آنومالی ممکن میباشد . آنومالی سوم در سمت شمال غربی نقشه و از مجموعه ۵ نمونه آنزمالی فسفات بوجود آمده که دو نمونه آن در حد آنومالی حتمی و سه نمونه بقیه در حد آنومالی ممکن میباشد . در محدوده این آنومالی یک نمونه بدون آنوانی دیده میشود .

#### شیت راستقان :

در این شیت یک آنومالی نسبتاً وسیع از فسفات از طریق رئوشیمیائی بدست آمده است این آنومالی از اجتماع ۵ نمونه فسفات آنومالی ممکن بوده که در ارتباط با آنومالی شماره ۳، شیت تازه قلعه بنظر میرسد .

#### شیت بک پولاد :

در این شیت دو آنومالی فسفات ترسیم شده که عبارتند از آنومالی شماره ۵ : این آنومالی از اجتماع چهار نمونه فسفات آنومالی ممکن تشکیل یافته که بانمونه های کانی سنگین که از بخش جنوی آن برداشت شده است مورد تائید قرار میگیرد .

آنومالی شماره ۶ : در ناحیه شمال غربی آنومالی فوق الذکر آنومالی شماره ۶ ترسیم

شده که مشتمل بر سه نمونه غیر عادی فسفات در حد ممکن میباشد .

شیت رویدونخ بالا :

در این شیت سه آنومالی رئوشیمیائی فسفات ترسیم شده که عبارتند از :

آنومالی شماره ۷ - این آنومالی از اجتماع ۰ نمونه غیر عادی فسفات در حد آنومالی ممکن میباشد . نمونه های کانی سنگین تاءید کنند، این آنومالی میباشد .

آنومالی رئوشیمیائی فسفات شماره ۸

این آنومالی از اجتماع ۴ نمونه غیر عادی فسفات در حد آنومالی ممکن تشکیل یافته که با نمونه های کانی سنگین مورد تاءید میباشد .

آنومالی شماره ۹

این آنومالی در بخش شمال غربی شیت رویدونخ بالا و از اجتماع ۱۱ نمونه غیر عادی رئوشیمی فسفات تشکیل یافته که در ارتباط با آنومالی شماره ۱۱ شیت حصارچه بنظر میرسد . فسفات در نمونه های کانی سنگین این ناحیه تاءید کنند فسفات نسبتاً بالا در محدوده این آنومالی است .

شیت حصارچه

در این شیت دو آنومالی نسبتاً کوچک رئوشیمیائی فسفات ترسیم شده که عبارتند - از آنومالی شماره ۱۰ این آنومالی از اجتماع دو نمونه غیر عادی فسفات در حد آنومالی ممکن میباشد که نمونه های کانی سنگین گرفته شده در نواحی شناختی این آنومالی تاءید کنند فسفات بوده است .

آنومالی شماره ۱۱

این آنومالی از اجتماع دو نمونه غیر عاری فسفات بوده که با توجه به وجود چند آنومالی در بخش شرقی آن در ارتباط با آنومالی شماره ۹ شیت رویدوخ بالا بنظر مپرسد.

### فصل پنجم بررسی کانیهای سنگین

صفحه ۵۰:

آنچه که در این فصل مورد مطالعه قرار میگیرد، نحوه اکتشافات رئوشیمیایی با کمک مطالعه کانیهای سنگین میباشد. در ناحیه مورد مطالعه بررسیهای کانیهای سنگین توأم با اکتشافات چکش و رئوشیمی صورت گرفته بنا بر این تعبیرو تفسیر و نتیجه گیری منتج از تمام متدهای ذکر شده میباشد. در این ناحیه پنج شیت ۱:۵۰۰۰ جاز حصارچه - رویدوخ بالا - بک پولاد - راستقان و تاره قلعه ترکها مورد مطالعه قرار گرفته و تعداد نمونه های سنگین جمع آوری شده در این پنج شیت به ۱۴۸ نمونه بالغ مبادرد. مساحت ناحیه مورد مطالعه حدود ۲۲۰ کیلومتر مربع و تراکم نمونه گیری در حدود یک نمونه در ۱ کیلومتر مربع میباشد. مهمنترين علت مطالعه کانیهای سنگین در این منطقه تشخیص کانیهای جیوه است که در شرایط فعلی درحد تشخیص آزمایشگاه رئوشیمی نیست. بطوريکه ملاحظه میشود به مواردی از آنومالیهای جیوه بطور ناچیز باریت، فسفات با این روش رست یافته ایم.

### ۱-۱- نمونه گیری:

نمونه گیری ناحیه مورد مطالعه با کمک عکسهاى هوایی با مقیاس تغییر و نقشه ۱:۵۰۰۰ با توجه به وضعیت تکنیکی و چیزشناسی صورت گرفته است. تپیوگرافی

بدین ترتیب تراکم نمونه گیری برای کانیهای سنگین حدودیک نمونه در ۸/۱۴ کیلومتر  
مربع می‌باشد، هنگام نمونه گیری زمین شناسی یا تکسین محل نمونه گیری را روی عکس  
و یا نقشه مشخص کرده اقدام به نمونه گیری می‌نماید، نحوه نمونه گیری و آماده سازی  
و مطالعه نمونه‌ها در گزارش‌های قبلی ذکر شده است.

#### ۴- چگونگی انتقال نتایج بر روی نقشه‌ها :

پس از مطالعه و بررسی نمونه‌ها نتایج بدست آمده دسته‌بندی و گانیهای شناخته  
شده در هر نمونه در محله‌ای بروی نقشه‌های توپوگرافی ۵۰۰۰:۱ مشخص گردیده  
است ( نقشه‌های XI, XII, XIII, XIV, XV ) این کار بر اساس دوفاکتور  
صورت گرفته است اول حجم کانی سنگین بعد از برو موفورم، که برای دست‌یابی به  
کمیت کانیهای سنگین حجم مقدار نیونه مورد مطالعه در کلیه نمونه‌ها یکسان برابر ۱۵  
گرفته شده ( در نمونه‌های کارهای توجیهی این مقدار تغییر یافته با محاسبات  
به حجم ۱۵<sup>۳۳</sup> تقلیل یا افزایش یافته است ) فاکتور دوم برصدی که هر یک لز کانیهای  
در نمونه‌های مختلف را می‌باشد.

با در نظر گرفتن این دو پارامتر و اختصاص دادن رنگهای متفاوت به کانیهای مختلف،  
درج کلیه نتایج روی نقشه‌ای واحد مقدور بیشود، علائم و رنگهایی که برای نشان  
دادن بگار رفته احت در راهنمای نقشه موجود است، وازانحاییکه منتقل کردن گایه  
نتایج بر روی نقشه‌ها با اشکالاتی همراه است و موجب سرد رگی می‌شود، لذا سعی  
شده که تنها نتایجی از کانیها که از نظر اقتصاری حائز اهمیت هستند مانند کانیهای  
جیوه - فسفر - باریم و غیره روی نقشه‌ها مندکس و مورب بررسی قرار می‌گیرد.

۴-۴- بررسی آماری نتایج گانیهای سنگین :

در ناحیه مورد مطالعه جمعاً ۱۴۸ عدد نمونه کانی سنگین جمع آوری و مورد مطالعه قرار گرفته است . مقدار نمونه ها در شیوه های حصارچه - روید و خ بالا - بک پولار - راستقان و تازه قلعه ترکها بترتیب ۳۰ - ۲۶ - ۲۴ - ۸ عدد میباشد .

۴-۴- نتایج بدست آمده از مطالعه گانیهای سنگین و بررسی آماری آنها :

نتیجه گیری از بررسیهای گانیهای سنگین بر هدف های زیر استوار است: شناخت عنصر جیوه یا دیگر عناصری که در حال دامنه اندازه گیری آنها بروشهای کم، مقدور نبوده و یا حداقل به صرفه و صلاح مقرن نیست .

- کنترل نمودن آنومالیهای رئوشیمیائی و شناخت نسبی گانیهای تشکلهای آنومالی .

- کشف کانی سازیهایی که هیچ نوع سابقه معدنی نداشته و یا حتی آثار قابل مشاهده به چشم نیده نشده است .

شناخت میزان اهمیت اندیشهایی که در اکتشافات چکشی شناخته شده است .

در ناحیه مورد مطالعه گانیهای باریم ، فسفات سرب ، جیوه بوسیله بررسیهای گانیهای سنگین مشخص گردیده که به ترتیب در هر شیوه شرح داده میشود .

۵-۴- شرح آنومالیهای گانی سنگین

آنومالیهای گانی سنگین بدست آمده برای فسفات ، باریت ، سرب روی نقطه های آنومالی از شماره XV تا ۱۵۰۰۰ به تفکیک برای هر نمونه مشخص شده است که آنومالیهای مهم کانی سنگین با توجه به نتایج حاصله از اکتشافات چکشی رئوشیمی

چینه شنا سی ، تکتونیک در فصل آخر مورد تعبیر و تفسیر قرار میگیرد .

۱-۵-۴- علائم بدست آمده از جیوه در مطالعات کانیهای سنگین :

از ۱ نمونه جمع آوری شده در ناحیه مورد مطالعه جمعاً ۳ نمونه حاوی کانی

سینابر بود که یک نمونه در شیت دویدن بالا و دو نمونه در شیت حصارچه مورد بررسی

قرار گرفته است .

شیت دویدن بالا : در نزدیکی قریه یکه سعود بالا در نمونه شماره ۶۰۸۲-۶۲

یک کانی سینابر کوچکتر از ذره معمطی مطالعه شده که به وجود جیوه هر چند . مقدار شمال

کم و ناچیز در ناحیه قوت می بخشد . در امتداد آبرانه ، گسلی با امتداد شرق - جنوب

غرب گسترش داشته که همراه با کانی سازی هایی از اکسید آهن بحضورت ، لیمونیت گونیت

و هماتیت رخنمون دارد . در مطالعات کانیهای سنگین نمونه فوق مقدار نسبتاً بالای باریت

میتواند به اهمیت این کانی سازی بیفزاید .

شیت حصارچه :

در این شیت در دو محل کانی نسبتاً مطالعه شده اولی در نزدیکی قریه اشتوت

در نمونه شماره A-6058 و دویی در ۲/۵ کیلومتری غرب حصارچه و در نمونه شماره

4110-A قابل بررسی است . با توجه به مقدار نمونه های جمع آوری شده ، نمونه حاوی

سینابر اندک بوده اولی این وجود نشانگر انتشار جیوه بصورت ثانوی در نواحی فوق میباشد .

۲-۵-۴- شرح آنومالیهای کانی سنگین فسفات

شیت راستقان

در این شیت دو آنومالی نسبتاً وسیع از فسفات ترسیم شده است که نظران دهنده

پراکندگی نسبتاً وسیع فسفات‌رسوئی در ناحیه میباشد .

آنومالی شماره ۱

این آنومالی از اجتماع ۱۱ نمونه فسفات دار بوده که در یک نمونه آن ده الی  
سی درصد فسفات و در هشت نمونه دیگر یک الی ده درصد و در بقیه نمونه‌ها کمتر  
از یک درصد فسفات در نمونه‌های تغییض شده کانی سنگین بدست آمده است .

آنومالی شماره ۲

این آنومالی که بطور اختیاری از سه نمونه فسفات دار در بخشنده غربی آنومالی  
فوق الذکر رسم شده است از اجتماع سه نمونه فسفات دار کانی سنگین تشکیل یافته  
که یک نمونه آن .۱ الی .۳۰ درصد و در دو نمونه بقیه ۱ الی ۱۰ درصد فسفات  
در نمونه تغییض شده کانی سنگین آن وجود را شتله است .

۳-۴-۵- باریت

در کلیه نمونه‌های کانی سنگین گرفته شده از ناحیه مورد مطالعه در پنج شیت حصارچه  
رویدخ بالا - بک پل - ولاد - راستقان - و تازه قلعه ترکها باریت در نمونه کانی سنگین  
وجود دارد که نشانه پراکندگی وسیع باریت در سطح ناحیه میباشد بندوی که جدا کردن  
آنومالی برای باریت بد و علت قلت نمونه‌ها و دیگری به علت مشخص نبودن زنگ آن که از نظر  
اقتصادی مورد توجه است ، آنومالی خاصی بجز یک مورد برای باریت ترسیم نشده است .

آنومالی شماره یک باریت :

این آنومالی منطبق بر اندیس باریت و سرب المار وشن بوده که از مجموعه چهار نمونه

باریت تشکیل یافته که یک نمونه آن باریت بیشتر از ۳۰٪ و در دو نمونه دیگر ۱۰٪  
تا ۳٪ در صد و در نمونه دیگر ۱٪<sup>۱۰</sup> الی ۱٪ در صد باریت در نمونه تقلیل شده کانسی  
سنگین آنها بدست آمده است.

: ۴-۵ - سرب :

سرب بصورت کانی گالن در ارتباط با رگهای باریت به مقدار بسیار کم در حایه  
دیده شد که به مقدار اندکی در نمونه های کانی سنگین یافت شده است که در  
ناحیه مرز مطالعه تنها یک آنومالی و بر اساس یک نمونه گالن دار به مقدار ۵ pts در  
نزدیکی اندیس باریت و سرب الماد وشن رسم شده است.  
ترتیب انتقال نتایج رئوشیمی و کانی سنگین روی نقشه های آنومالی  
جهت گویا تربودن نتایج رئوشیمی و کانی سنگین در روی نقشه های آنومالی مراحل  
زیر صورت گرفته است.

۱- کلیه نتایج رئوشیمی T.H.M روی نقشه های آنومالی در نقطه اصلی نمونه بر داری و  
سمت چپ نتایج کانی سنگین باعلا بیضی نشان داده شده است.  
۲- علامت (۱) مشخصه نمونه فاقد آنومالی رئوشیمی میباشد. و علامت بیضی که  $\frac{1}{2}$  آن  
پرشده مشخصه آنومالی ممکن و علامت (۲) مشخصه آنومالی احتمالی و علامت (۳) مشخصه  
آنومالی حتمی و علامت (۴) مشخصه آنومالی مطلق رئوشیمی میباشد و این علائم بر حسب  
مقدار در محل نمونه گیری گذاشته شده و رنگی که جبهت نشان دادن این نتایج بکار رفته  
رنگ سبز برای T.H.M میباشد.

۳- جبهت نشان دادن نتایج رئوشیمی فسفات  $5^{۰۲}$  نیز از علامت بیضی استفاده میشود  
که با توجه به توضیحات بند ۲ آنومالی های مختلف را در محل نمونه گیری بعد از نتیجه

ژئوشیمی T.H. شبت میشود و چنانچه در نمونه‌ای نتیجه ژئوشیمی آن قادر آنومانی

باشد ولی نتیجه فسفات آن یکی از آنومالیها را داشته باشد این نتیجه در محل

نمونه گیری و در سمت چپ نتایج کانی سنگین ترسیم میشود و رنگ که برای نشان دادن

فسفات بیکار رفته رنگ قهوه‌ای میباشد .

۴- نتایج کانی سنگین در روی نقشه های آنومالی با علامت دائیره با اندازه های مختلف  $\text{cm}^2$  دارد ،

که این اندازه ها بر معیار حجم کانی سنگین بر حسب مانتو متر مکعب میباشد .

۵- نتایج کانی سنگین روی نقشه آنومالیها سمت راست نتایج ژئوشیمی ثبت شد راست .

۶- علامت ( pts ) نشانه حضور اندک کانی بصورت چند رانه مجزا میباشد و علامت

( ۱ ) مشخصه این که در نمونه کافی سنگین - کانی مورد نظر کمتر از ۱٪ میباشد که با

حرف مشخص گردیده علامت ( ۲ ) نشانه این است که کانی مورد مطالعه بین ۱٪ -

۱٪ میباشد که با حرف R نشان داده شده و علامت ( ۳ ) مشخصه ۱۰٪ تا ۳۰٪ میباشد .

که با حرف ترسیم شده و علامت ( ۴ ) نشانه این است که کانی مورد مطالعه در کانی سنگین

بیشتر یا مساوی ۳٪ میباشد که با حرف M نشان داده شده است .

۷- در نقشه آنومالیها نتایج کانی سنگین بعد از نتایج ژئوشیمی بصورت زیر ترسیم -

شده است که ابتدا نتایج باریت سپس فسفات - گالن - فلئوریت - اسمیت زونیت -

ثبت شده که باریت با رنگ زرد لیموئی و فسفات قهوه‌ای - سینابر قرمز رنگ گالن با رنگ

آبی - فلئوریت زرد کمرنگ - اسمیت زونیت قهوه‌ای کمرنگ میباشد .

فصل ششم :

تعابیر و تفسیر نتیجه گیری و پیشنهادات

با باشد لذا از قسمت Base Metal بلوم جهت تعیین کمی نسبی فلزات سنگین استفاده شده و نتایج روی نقشه های آنومالی ترسیم گردیده ، این نتایج مبنی اهمیت آنومالی های فوق به دلایل ذیل میباشد ،

۱- آنومالی شطارة "T.H.M" در شیت دویدنخ بالا در امتداد نمونه کانی سنگین

حاوی سینابر و با مقدار بالا باریت همبستگی نشان میدهد .

۲- ارتباط روی و جیوه بدلیل آنکه آنالیز "T.H.M" بیشتر با روی واکنش نشان میدهد و طبق

بررسیهای ( ساکالوف ۱۹۶۴ ) کانی سازی های جیوه -

دارانترکمنستان در ارتباط با کانی سازی فلزات سنگین خصوصاً روی میباشد ، لذا این

آنومالیها میتوانند مورد توجه قرار گیرد . از طرف دیگر حدود ۱۵ نمونه کانی سنگین

در محلهای مناسب از نظر تکتونیکی و مورفولوژیکی برداشت گردید . حتی در جاهای که

سینابر بمقدار فوق العاده ناچیز و بطور مشکوک در کانی سنگین دیده شده بود اقدامه نمونه گیری متراکمتر از آن محل گردید ولی با وجود آن این کانی در نمونه های کانی سنگین دیده نشده از زم بدهی از آوری است که روش کانی سنگین جهت تعیین جیوه به لحاظ تفليظ های مکرر در

مراحل ، گل شویں شستشو با لاوك و جدايش با بروموفوم و هم چنین خصوصيات ظاهری

غیر قابل اشتباه سینابر ( که با اهمیت ترین کانی جیوه است ) یکی از مهمترین روش های

اكتشاف جیوه میباشد .

با این حال نه تنها سینابر بلکه کانی های همراه آن از قبیل آنتیمونیت-رالگار - زر نمونه ها

مشابه نگردید . گسلها ، شکستگی ها - محور چین خود گیها روی عکس های ۰۰۰۱۵

مشخص گردیده بود و در بعضی مناطق مهم آن پیمایش هایی صورت گرفت .

ولی بجز ۱ اندیس که عموماً رگه های باریت همراه با کلسیت با مقدار بسیار ناچیز گالن

در بعضی از نمونه های اکتشاف چکشی ، کانی دیگر مشاهده نشد، رگهای باریت و کلسیت این ناحیه گرچه ظاہراء فاقد کانی سازی مهمی هستند ولی ممکن است دارای کانی سازی هایی از جیوه بصورت مخلوط مکانیکی ، اخرا وغیره در عمق باشند .  
(کیونسل ۱۹۵۳ ، چواکوف ، سامسونف ۱۹۳۲ ، ساکالوف ۱۹۶۴) آنالیز کمی  
اسپکترومتری ۶۰ عدد نمونه خاک و سنگ که از مناطق محدوده آنومالیهای T.H.M و کانی سنگین و نیز اکتشافات چکشی انتخاب گردیده بشانی از جیوه بدست نداد .  
لازم به تذکر است که در تشخیص (detection limit) جیوه در این آنالیز  $P_{Hg}$  میباشد . نتایج آنالیز نمونه های فوق در ضمیمه شماره ۸ درج شده است .  
بهر حال نتیجه گیری اصولی راجع به وجود جیوه در ناحیه منوط به آنالیز نمونه ها بوسیله دستگاه mercury detector است

## ۲-۵- باریت— Ba.

باریم بصورت کانی باریت در سطح ناحیه بوسیله مطالعات کانی سنگین و نیز اکتشافات چکشی مشخص گردیده است بعلت پر اکندگی نسبتاً وسیع باریت در نمونه های تفلیط شده کانی سنگین که تقریباً در کلیه نمونه ها وجود رارد و نیز بعلت قلت تعداد نمونه های کانی سنگین و نیز مشخص نبودن ژنز آن (شیل و ماسه سنگ عموماً راری مقادیر کم باریت بصورت کنکرسیون میباشد که از نظر اقتصادی قابل بهره برداری نیست) لذا نمی توان آنومالی مشخص از باریم را در سطح ناحیه بطرور دقیق تعیین کرد . در بین جویی های چکشی در ابتداء خطر طیله و نیز درزه ها و شکستگیها رگه هایی از باریت همراه با کلسیت در نقاط مختلف ناحیه مورد مطالعه یافت شده ولی بعلت

خاصیت فرمایشی سنگهای ناحیه (شیل) اکثر این رگهها پوشیده و فقط مقدار ناچیزی از آنها در سطح مشاهده گردید. خامات این رگهها حد اکثر تا ۸۰ سانتی متر در حالت استثنائی ولی عموماً بسیار کمتر از آن دیده میشود. مجموعه مطالعات کانیهای سنگی و نیز پی جویی های چکشی مبین حضور نسبتاً فراوان کانی باریت در سنگهای ناحیه میباشد.

ph ۳-۵ - سرب

در مطالعات کانیهای سنگی سرب بصورت کانی گالن و یا بصورت خالق به مقدار بسیار کم در تعداد اندکی از نمونه ها مشخص گردیده است. در پی جویی های چکشی در بعضی از رگههای باریت، گالن بصورت بسیار اندک همراه با باریت دیده میشود. در نتیجه وجود سرب در ناحیه محقق بوده، ولی بعلت ناچیز بودن آن از نظر اقتصادی غیرقابل بهره برداری میباشد.

zn ۴-۵ - روی

در ناحیه مورد مطالعه بیش از ۷۷۴ نمونه رُئوشیمی برداشت شد که همگی آنها بروش تست بلوم برای تعیین مجموعه فلزات سنگی بروش سرد آزمایش شدند. در این روش آنچه که بیشتر مورد واکنش قرار میگیرد روی میباشد، نتایج آماری این نمونهها نشان دهنده عدم حضور آنومالی روی بوده و عموماً این عنصر در حد زمینه میباشد. در مطالعات کانیهای سنگی و نیز پی جویی های چکشی نظر فوق تأثیر میگردد.

۵-۵ - فسفر

بر مطالعه کانی های سنگی ۴۸ نمونه جمع آوری شده از ناحیه، در اکثر نمونهها

فسفات بمقادیر مختلف مشخص گردیده است ، همچین در آنالیز روشیمیائی فسفات<sup>۶</sup>

بطریق رنگ سنگی این کانی بمقادیر نسبتاً بالا در نمونه ها تعیین شده که پس

از محاسبات آماری نتایج آنها ، آنومالی های از فسفات در نقاط مختلف ناحیه

مورد مطالعه روی نقشه های آنومالی رسم گردیده است .

ولی در پی جویی های چکشی ، انق های فسفات پر عیار مشخص نگردید .

با توجه به دوفاکتور اول ، وجود فسفات در ناحیه محقق بوده ولی بررسی بیشتر راجع

به فسفات ناحیه از نظر وجود افق های فسفات دار پر عیار ضروری بنظر میرسد .

پیشنهاد :

با توجه به بررسی های انجام شده در ناحیه فوق بعلت قلت و عدم تحرک فیزیکی جیوه در

خاک و رسوبات رودخانه ای ، اراده کار آته را میتوان بر رزی برنامه زیر قرار دار :

تعیین هاله اولیه جیوه ، بصورت نمونه برداری از رگه و رگه های موجود در شکستگیها

و گسلها و نیز مقاطع استراتیگرافی ، که برای انجام این منظور دستگاه mercury detector

که قابلیت اندازه گیری سریع جیوه را در حد ۰.۰۶ را داشته باشد ، ضروری است .

ضمیمه شماره ۱  
شماره نقشه ها

٦ حصارچه Sampling - I

د ویدخ بالا " - II

بک پولار " - III

راستقان " - IV

تازه قلعه ترکها - V

حصارچه Content - VI

د ویدخ بالا " - VII

بک پولار " - VIII

راستقان " - IX

تازه قلعه ترکها " - X

حصارچه Anomaly - XI

د ویدخ بالا " - XII

بک پولار " - XIII

راستقان " - XIV

تازه قلعه ترکها " - XV

"ضمیمه شماره ۲"

آنالیز نمونه‌های اکتشاف چکشی جهت وجود جیوه ( Hg ) بروش دیفینل کاربازون

حداقل مقدار جیوه ۱

گانک	جنس سنگ میزان	محل برداشت نمونه	جیوه	شماره نمونه
ماسنهنگ	ماسنهنگ	قریه یارچلی	-	R-62-H-2
ماسنهنگ	ماسنهنگ	جنوبد هستان غلامان	x	G-62-H-5
ماسنهنگ	ماسنهنگ	جنوبد هستان غلامان	+	G-4
ماسنهنگ	ماسنهنگ	قریه یارچلی	-	R-62-H-4
ماسنهنگ	ماسنهنگ	قریه فلامان	-	62-H-5177
آنالیز	ماسنهنگ	شیل و ماسنهنگ المار وشن	-	P-62-H <sub>2</sub> A
ماسنهنگ	ماسنهنگ	شمال قریه‌گز	-	R-62-H-3
		-62-H-2	-x	
ماسنهنگ و شیل گندلی	ماسنهنگ	شمال شرقی راشلی قلعه	-x	P-62-H-1
ماسنهنگ	ماسنهنگ	شیل و ماسنهنگ المار وشن	-	62-H-4159
ماسنهنگ	ماسنهنگ	شمال تازه قلعه ترکها	-	P-62-H-2
ماسنهنگ	ماسنهنگ	شمال قریه المار وشن	x	J-62-H-4150
ماسنهنگ	ماسنهنگ	شمال شرقی دهدکه قرآن آچ	-	62-H-A-1
ماسنهنگ	ماسنهنگ	G-62-H-3	-	

علامت - نشانه عدم وجود جیوه

علامت + نشانه حضور جیوه

علامت x مشکوک به حضور جیوه

"ضمیمه شماره ۳"

نام افراد شرکت کننده در فعالیتهای صحرائی اکتشافات جیوه منطقه کپه راغ

سال ۱۳۶۲

نام	تاریخ شروع و خاتمه مأموریت	مدت مأموریت
محمد رضا علوی نائینی	۶۲/۴/۳۰ - ۶۲/۳/۱	۶۰ روز
فرزاد آزم	۶۲/۴/۳۰ - ۶۲/۳/۱	۶۰ روز
جواد رادفر	۶۲/۴/۳۰ - ۶۲/۳/۱	۶۰ روز
حسین جیروزی	۶۲/۴/۳۰ - ۶۲/۳/۱	۶۰ روز
روح اله قربانی	۶۲/۴/۳۰ - ۶۲/۲/۲۵	۶۲ روز
حسین طاوسی	۶۲/۴/۳۰ - ۶۲/۳/۱	۶۰ روز
جمال الدین رضوانی	۶۲/۴/۳۰ - ۶۲/۳/۲۰	۶۲ روز
عبدالله الهمدی	۶۲/۴/۳۰ - ۶۲/۳/۱	۶۰ روز

صهی مه شماره ۴ : تعداد و تراکم نمونه‌های گرفته شده در هر شیت . ۰ . ۰ . ۰ . ۵ : ۱

نمونه‌نگاری برقوقی	تعداد نمونه	تراکم نمونه	تعداد نمونه روشی	نمونه کل نمونه‌گیری	شیب
۲۰ / ۸	۱	۶۰	۲۰	۲۰	۰
۱۲	۴	۸۰	۳۲	۳۲	۰
۲	۱	۸۱	۳۳	۳۳	۰
۲	۲۲	۷۸	۲۶	۲۶	۰
۱۱ / ۷	۳۶	۸۱	۳۴	۳۴	۰
۱۲ / ۶	۳۶	۹۳	۶۳	۶۳	۰
۱۲ / ۴	۳۰	۱۰۰	۴۲	۴۲	۰

تراکم = نمونه در ۱۲ کیلوپوت مرربع

صفیه شماره ۵

ردیف شماره نمونه های جمع آوری شده توسط افراد گروه

فرزاد آزم	١٠٠٠	تا	٤٠٠٠
جواد رادر	٢٠٠٠	"	٣٠٠٠
محمود رضاعلوی نائینی	٣٠٠٠	"	٤٠٠٠
حسین جیرودی	٤٠٠٠	"	٥٠٠٠
روح اله قربانی	٥٠٠٠	"	٦٠٠٠
حسین طاوسی	٦٠٠٠	"	٧٠٠٠
جمال الدین رضوانی	٧٠٠٠	"	٨٠٠٠
عبدالله الہبودی	٨٠٠٠	"	٩٠٠٠

منابع

- ۱- روش‌های آماری در محاسبات رئوشیمی (۱-تدين ۱۳۶۰)
- ۲- روش اندازه‌گیری مجموع فلزات سنگین بوسیله دیتیزون (۱-تدين ۱۳۶۱)
- ۳- روش تخمینی اندازه‌گیری صحرائی فسفات ( ملاک پور ۱۳۶۲ )
- ۴- چند روش آزمایشگاهی و محاسباتی در رئوشیم کاربردی ( ف - آزم - آزم ۱۳۶۲ )
- ۵- اکتشافات سیستماتیک در چهارگوش ۱۰۰۰۰:۱ تهم ( تدين - آزم - علوی ۱۳۶۱ )
- ۶- فرهنگ چینه شناسی ایران ( اشتولکین - ستوده نیا )

Introduction to exploration Geochemistry (Levinson 1974) -۷

Acourse of mineralogy (A.Beteahtin) -۸

Spot tests in inorganic analysis (Frilj Feigt)<sup>۹</sup>

qualitative Semimicro analysis (Alexeyev) -۱۰

introduction to geochemistry(Konrad Krauskopf)<sup>۱۱</sup>

۱۱- مجموعه چند جزوی متد تشکیلات و نتایج عملی کارهای تجسساتی - ارزشیابی  
جیوه ترکمنستان شوروی ( زارنف - اسپیوک - فارتوكوف ) در مورد منبع شنگرف ثانوی  
در بعضی از علائم معدنی پلی متالیک مدار اولیه کپه راغ ( ساکالوف ) جیوه و آنینموان  
در کپه راغ غربی

بسمه تعالی  
”ثبمیمه شماره ۷“

نتیجه مطالعات اور میکروسکوپی نمونه های که راغ

شماره آزمایشگاه ۶۱ - ۶۲ شماره صحرائی P-62-H-3-B

جزء یک ذره کوچک پیریت ریز دانه درون یک شکاف کانی فلزی دیگری مشاهده نشده .  
شماره آزمایشگاه ۶۲ - ۶۲ شماره صحرائی 62-H-A-6

تنها کانی مشاهده شده گالن است که بصورت فشرده قادر شکل هندسی منظم تظاهر مینماید ، قادر گازک بوده و درون شکستگی های آن التراسیون خفیف مشاهده میشود ، بدین نحو که گالن تبدیل به سروزیت شده است . گاه سروزیت حاصل درون ژئوردهای گالن بوجود آمده است .

شماره آزمایشگاه ۶۳ - ۶۲ شماره صحرائی P-62-H-3-A

جزء نرات بسیار ریز پیریت و بندرت کالکوپیریت و اکسید آهن کانی فلزی دیگری مشاهده شده بطریور کلی کانیهای یار شده بقدار بسیار کم دیده میشوند .

شماره آزمایشگاه ۶۴ - ۶۲ شماره صحرائی ( G4-1 ) 62-H-

درون رخهای گازک که امتلاه از جنس گلسیت است لیمونیت آمورف نفوذ نموده است که به گلسیت رنگ قرمز میدهد ، گاه لیمونیت بلورین با رانه بندی ریز در سطح مقطع دیده میشود .

شماره آزمایشگاه ۶۵ - ۶۲ شماره صحرائی 62-H+G-4-1

جزء نرات ریز کالکوپیریت درون ژئوردهای گازک ، به مقدار کم و رانه بندی بسیار ریز کانی دیگری مشاهده نشده .

شماره آزمایشگاه ۶۶ - ۶۲ شماره صحرائی 62-H-A-5

کانیهای مشاهده شده - گالن ، پیریت گالن بصورت رانه های درشت و دراز در کنار مقطع دیده میشود ، قادر هر گونه آلتراسیون و انکلوزیون است . در سطح مقطع نیز رانه های ریز پیریت بقدار بسیار کم دیده میشود .

شماره آزمایشگاه ۶۷ - ۶۲ شماره صحرائی 62-H-A-2

جزء نرات ریز اکسید آهن کانی فلزی دیگری مشاهده نشد .

ناصر خوئی

سازمان زمین شناسی کشور  
قسمت آزمایشگاهی تجزیه سنگها و گانه ها و آب  
نمونه های فسفات، گپه داغ ۱۲

اندازه گیری در صد در ۲۰ نمونه ماسه سنگ

شماره نمونه	P <sub>2</sub> O <sub>5</sub>	ردیف	شماره آزمایشگاه
62-H-8-p	• / ۰۲	۱	۱۱۹۹
P-62-H-6	n.d	۲	۱۲۰۰
P-62-H-5	• / ۱۹	۳	۱
P-62-H-4-A	• / ۲۰	۴	۲
P-62-H-5-A	• / ۱۰	۵	۳
P-62-H-4-B	• / ۱۷	۶	۴
P-62-H-5-B	• / ۱۵	۷	۵
P-62-H-4-C	• / ۲۳	۸	۶
P-62-H-5-C	• / ۱۱	۹	۷
P-62-H-4-D	• / ۰۷	۱۰	۸
P-62-H-5-D	• / ۱۱	۱۱	۹
P-62-H-4-E	• / ۲۲	۱۲	۱۰
P-62-H-4-F	• / ۲۲	۱۳	۱۱
P-62-H-4-G	• / ۱۴	۱۴	۱۲
P-62-H-4-H	• / ۱۷	۱۵	۱۳
P-62-H-4-I	• / ۱۷	۱۶	۱۴
P-62-H-4-J	• / ۲۳	۱۷	۱۵
P-62-H-4-K	• / ۲۹	۱۸	۱۶
J-62-H-4150	• / ۱۷	۱۹	۱۷
J-62-H-4159	n.d	۲۰	۱۸

تا ایند سپرست: جهانگیری

لیست ۶ نمونه‌سنگ و خاک برای آنالیز کمی اسپکترومتری جهت تعیین عنصر جیوه در ناحیه

P.Pm .۳۸ کله راغ - حد تشخیص

تو صنعت

۱ - نتایج آزمایشات بر حسب فرم درتن سیاره

۲ - خلاصه متد اندازه‌برداری  $\pm 10\%$  است.

۳ - علاست " " کمتر از عدد اندازه‌برداری را توان میدهد.

نمودار شماره (Hg)	نمودار شماره (Hg)	نمودار شماره (Hg)
< ۳۸	۵۴۲-۱۱۴	62-H-G-4
*	۶-۱۱۸	62-H+G-4
< ۳۹	۶-۱۱۹	62-H-G-4
*	۶-۱۲۰	62-H+G-4½
*	۶-۱۲۱	62-H+G-4½
*	۶-۱۲۲	62-H-G-4½
*	۶-۱۲۳	62-H+G-4½
*	۶-۱۲۴	62-H+G-4½
*	۶-۱۲۵	62-H-G-4½
*	۶-۱۲۶	R-62-H4
*	۶-۱۲۷	62-H-A-1
*	۶-۱۲۸	P-62-H-1
*	۶-۱۲۹	G-62-H5
*	۶-۱۳۰	H-104

نمودار شماره (Hg)	نمودار شماره (Hg)	نمودار شماره (Hg)
< ۳۸	۵۴۲-۱۰۶	P-62-H3a
*	۶-108	62-A-2
*	۶-109	P-62-H2B
*	۶-110	P-62-H2
*	۶-111	62-H+G-4½
*	۶-112	G-62-H3
*	۶-113	62-H-G-4
*	۶-114	R-62-H3
*	۶-115	62-H-5177
*	۶-116	62-H+G-4½
*	۶-117	P-62-H2A
*	۶-118	G-62-H2
*	۶-119	R-62-H2

(Hg)	جیوه	سازه کریاتیک	سازه نخاع	(Hg)	جیوه	سازه کریاتیک	سازه نخاع
<۳۸	۵۴۷-۱۰۰	62-H-4186		<۳۸	۵۴۷-۱۲۰	H-103	
*	"-101	62-H-4184		*	"-101	H-102	
<۳۸	"-102	62-H-4183		,	"-104	H-101	
*	"-103	62-H-4182		,	"-104	H-100	
*	"-104	62-H-4122		,	"-104	62-H-6550	
*	"-105	62-H-3040		,	"-105	62-H-6043	
*	"-106	62-H-3039		,	"-106	62-H-6062	
*	"-107	62-H-4036		,	"-107	62-H-6267	
*	"-108	62-H-3034		,	"-108	62-H-5061	
*	"-109	62-H-3033		,	"-109	62-H-5252	
*	"-110	62-H-3031		,	"-110	62-H-5053	
*	"-111	62-H-3029		,	"-111	62-H-5054	
*	"-112	62-H-3027		,	"-112	62-H-5252	
*	"-113	62-H-3015		,	"-113	62-H-5041	
*	"-114	62-H-105		,	"-114	62-H-4196	
*	"-115	62-H-106		,	"-115	62-H-4195	
*	"-116	62-H-107		,	"-116	62-H-4191	
				,	"-117	62-H-4193	
				,	"-118	62-H-4187	
				,	"-119	62-H-4183	

\* توصیفات - در معرفه های باعث است سنده طلاق از جمله با

شدید تیرگی و رایج آنرا باید دید. دیده شدید در

آنرا در عکس این ترازو از این پری است.

Published by 

### Letered Silicate

— 1 —

27.1522.111

Digitized by srujanika@gmail.com

Geometrical

Epistles

Amphiboles

Digitized by srujanika@gmail.com

Memarite

Page

କୃତ୍ୟାମନେ

માનેપરસ્પ

ABAEFE  
ZTCGP

Bartle

Digitized by srujanika@gmail.com

Malachite

Mitsubishis

Scheelite

•%05-•%09 = □

Yelchin

• H.S.

No. 537

Date of Report:

• 10

• 100 •

Ref. No. 1

Field No	62-H-3047	62-H-3048	62-H-3051	62-H-3053	62-H-1108	62-H-1121	62-H-1122	62-H-1123	62-H-4242
T.W.S.	.90 cc	255 cc	83 cc	115 cc	70 cc	280 cc	155 cc	135 cc	110 cc
S.W.	15 cc								
H.H.W.	1 cc	0.4 cc	0.6 cc	2.2 cc	1.4 cc	0.4 cc	0.4 cc	0.4 cc	0.7 cc
Volumetric Displacement									
T.A = 90%									
A = 60% - 90% Pl. grain									
S.W. = Study weight of sample									
H.M.W. = Heavy minerals weight									
M = 30% - 50%									
Cold									
Crinoidal									
Molded matrix									
Chalcocystite									
Garnet									
Cerussite									
Sphene									
Adularia									
Crocoelite									
Limonite									
Pyrite	-	-	-	-	-	-	-	-	-
Pyrite Oxidized	pts	-	-	-	-	-	-	-	-
Manganese	pts								
Hematite	pts								
Iron pyrite	d	d	d	d	d	d	d	d	d
Amphibolites									
Epidotes									
Quartzite									
Magnetite	d	d	d	d	d	d	d	d	d
Ilmenite	d	d	d	d	d	d	d	d	d
Pyroxenes									
Augite									
Diopside									
Andesite									
Granite									
Quartz									
Adularia									
Crocoelite									
Limonite									
Pyrite									
Pyrite Oxidized	pts	-	-	-	-	-	-	-	-
Manganese	pts								
Hematite	pts								
Iron pyrite	d	d	d	d	d	d	d	d	d
Amphibolites									
Epidotes									
Quartzite									
Magnetite	d	d	d	d	d	d	d	d	d
Ilmenite	d	d	d	d	d	d	d	d	d
Pyroxenes									
Augite									
Diopside									
Andesite									
Granite									
Quartz									
Adularia									
Crocoelite									
Limonite									
Pyrite									
Pyrite Oxidized	pts	-	-	-	-	-	-	-	-
Manganese	pts								
Hematite	pts								
Iron pyrite	d	d	d	d	d	d	d	d	d
Amphibolites									
Epidotes									
Quartzite									
Magnetite	d	d	d	d	d	d	d	d	d
Ilmenite	d	d	d	d	d	d	d	d	d
Pyroxenes									
Augite									
Diopside									
Andesite									
Granite									
Quartz									
Adularia									
Crocoelite									
Limonite									
Pyrite									
Pyrite Oxidized	pts	-	-	-	-	-	-	-	-
Manganese	pts								
Hematite	pts								
Iron pyrite	d	d	d	d	d	d	d	d	d
Amphibolites									
Epidotes									
Quartzite									
Magnetite	d	d	d	d	d	d	d	d	d
Ilmenite	d	d	d	d	d	d	d	d	d
Pyroxenes									
Augite									
Diopside									
Andesite									
Granite									
Quartz									
Adularia									
Crocoelite									
Limonite									
Pyrite									
Pyrite Oxidized	pts	-	-	-	-	-	-	-	-
Manganese	pts								
Hematite	pts								
Iron pyrite	d	d	d	d	d	d	d	d	d
Amphibolites									
Epidotes									
Quartzite									
Magnetite	d	d	d	d	d	d	d	d	d
Ilmenite	d	d	d	d	d	d	d	d	d
Pyroxenes									
Augite									
Diopside									
Andesite									
Granite									
Quartz									
Adularia									
Crocoelite									
Limonite									
Pyrite									
Pyrite Oxidized	pts	-	-	-	-	-	-	-	-
Manganese	pts								
Hematite	pts								
Iron pyrite	d	d	d	d	d	d	d	d	d
Amphibolites									
Epidotes									
Quartzite									
Magnetite	d	d	d	d	d	d	d	d	d
Ilmenite	d	d	d	d	d	d	d	d	d
Pyroxenes									
Augite									
Diopside									
Andesite									
Granite									
Quartz									
Adularia									
Crocoelite									
Limonite									
Pyrite									
Pyrite Oxidized	pts	-	-	-	-	-	-	-	-
Manganese	pts								
Hematite	pts								
Iron pyrite	d	d	d	d	d	d	d	d	d
Amphibolites									
Epidotes									
Quartzite									
Magnetite	d	d	d	d	d	d	d	d	d
Ilmenite	d	d	d	d	d	d	d	d	d
Pyroxenes									
Augite									
Diopside									
Andesite									
Granite									
Quartz									
Adularia									
Crocoelite									
Limonite									
Pyrite									
Pyrite Oxidized	pts	-	-	-	-	-	-	-	-
Manganese	pts								
Hematite	pts								
Iron pyrite	d	d	d	d	d	d	d	d	d
Amphibolites									
Epidotes									
Quartzite									
Magnetite	d	d	d	d	d	d	d	d	d
Ilmenite	d	d	d	d	d	d	d	d	d
Pyroxenes									
Augite									
Diopside									
Andesite									
Granite									
Quartz									
Adularia									
Crocoelite									
Limonite									
Pyrite									
Pyrite Oxidized	pts	-	-	-	-	-	-	-	-
Manganese	pts								
Hematite	pts								
Iron pyrite	d	d	d	d	d	d	d	d	d
Amphibolites									
Epidotes									
Quartzite									
Magnetite	d	d	d	d	d	d	d	d	d
Ilmenite	d	d	d	d	d	d	d	d	d
Pyroxenes									
Augite									
Diopside									
Andesite									
Granite									
Quartz									
Adularia									
Crocoelite									
Limonite									
Pyrite									
Pyrite Oxidized	pts	-	-	-	-	-	-	-	-
Manganese	pts								
Hematite	pts								
Iron pyrite	d	d	d	d	d	d	d	d	d
Amphibolites									
Epidotes									
Quartzite									
Magnetite	d	d	d	d	d	d	d	d	d
Ilmenite	d	d	d	d	d	d	d	d	d
Pyroxenes									
Augite									
Diopside									
Andesite									
Granite									
Quartz									
Adularia									
Crocoelite									
Limonite									
Pyrite									
Pyrite Oxidized	pts	-	-	-	-	-	-	-	-
Manganese	pts								
Hematite	pts								
Iron pyrite	d	d	d	d	d	d	d	d	d
Amphibolites									
Epidotes									
Quartzite									
Magnetite	d	d	d	d	d	d	d	d	d
Ilmenite	d	d	d	d	d	d	d	d	d
Pyroxenes									
Augite									
Diopside									
Andesite									
Granite									
Quartz									
Adularia									
Crocoelite									
Limonite									
Pyrite									
Pyrite Oxidized	pts	-</							



Field No.	62-H-3024	62-H-3030	62-H-3044	62-H-3035	62-H-4130	62-H-4133	62-H-4148	62-H-4166	62-H-4167	62-H-4174
Volumetric estimation	T.A = 90%	T.W.S. = Total weight of sample	S.W. = Study weight	A = 60% - 90%	P.F. grain	R = 1% - 10%	M = 30% - 60%	H.M.W. = Heavy minerals weight	Scheelite	Cold
H.M.W.	0.1 cc	0.3 cc	0.3 cc	0.2 cc	0.2 cc	0.3 cc	0.3 cc	0.4 cc	Degchlorite	Glaena
S.W.	15 cc	15 cc	15 cc	15 cc	15 cc	15 cc	15 cc	15 cc	WUFLHnltte	Cerussite
T.W.S.	94 cc	92 cc	53 cc	37 cc	76 cc	55 cc	98 cc	77 cc	Malachite	Molybdenite
No.									Chalcocite	Strewn
									Pyrite	Oligistite
									Hematite	Pyroxenes
									Amphibolites	Leucitite
									Dunite	Tourmaline
									Pyroxenite	Plagioclases
									Augite	Diopside
									Actinolite	Glauconite
									Chlorite	Chlorite
									Ilmenite	Ilmenite
									Limonite	Limonite
									Leucosome	Leucosome
									Aluminosilicate	Aluminosilicate
									Amphibolite	Amphibolite
									Dunite	Dunite
									Pyroxenite	Pyroxenite
									Augite	Augite
									Actinolite	Actinolite
									Chlorite	Chlorite
									Ilmenite	Ilmenite
									Limonite	Limonite
									Leucosome	Leucosome
									Aluminosilicate	Aluminosilicate
									Dunite	Dunite
									Pyroxenite	Pyroxenite
									Augite	Augite
									Actinolite	Actinolite
									Chlorite	Chlorite
									Ilmenite	Ilmenite
									Limonite	Limonite
									Leucosome	Leucosome
									Aluminosilicate	Aluminosilicate
									Dunite	Dunite
									Pyroxenite	Pyroxenite
									Augite	Augite
									Actinolite	Actinolite
									Chlorite	Chlorite
									Ilmenite	Ilmenite
									Limonite	Limonite
									Leucosome	Leucosome
									Aluminosilicate	Aluminosilicate
									Dunite	Dunite
									Pyroxenite	Pyroxenite
									Augite	Augite
									Actinolite	Actinolite
									Chlorite	Chlorite
									Ilmenite	Ilmenite
									Limonite	Limonite
									Leucosome	Leucosome
									Aluminosilicate	Aluminosilicate
									Dunite	Dunite
									Pyroxenite	Pyroxenite
									Augite	Augite
									Actinolite	Actinolite
									Chlorite	Chlorite
									Ilmenite	Ilmenite
									Limonite	Limonite
									Leucosome	Leucosome
									Aluminosilicate	Aluminosilicate
									Dunite	Dunite
									Pyroxenite	Pyroxenite
									Augite	Augite
									Actinolite	Actinolite
									Chlorite	Chlorite
									Ilmenite	Ilmenite
									Limonite	Limonite
									Leucosome	Leucosome
									Aluminosilicate	Aluminosilicate
									Dunite	Dunite
									Pyroxenite	Pyroxenite
									Augite	Augite
									Actinolite	Actinolite
									Chlorite	Chlorite
									Ilmenite	Ilmenite
									Limonite	Limonite
									Leucosome	Leucosome
									Aluminosilicate	Aluminosilicate
									Dunite	Dunite
									Pyroxenite	Pyroxenite
									Augite	Augite
									Actinolite	Actinolite
									Chlorite	Chlorite
									Ilmenite	Ilmenite
									Limonite	Limonite
									Leucosome	Leucosome
									Aluminosilicate	Aluminosilicate
									Dunite	Dunite
									Pyroxenite	Pyroxenite
									Augite	Augite
									Actinolite	Actinolite
									Chlorite	Chlorite
									Ilmenite	Ilmenite
									Limonite	Limonite
									Leucosome	Leucosome
									Aluminosilicate	Aluminosilicate
									Dunite	Dunite
									Pyroxenite	Pyroxenite
									Augite	Augite
									Actinolite	Actinolite
									Chlorite	Chlorite
									Ilmenite	Ilmenite
									Limonite	Limonite
									Leucosome	Leucosome
									Aluminosilicate	Aluminosilicate
									Dunite	Dunite
									Pyroxenite	Pyroxenite
									Augite	Augite
									Actinolite	Actinolite
									Chlorite	Chlorite
									Ilmenite	Ilmenite
									Limonite	Limonite
									Leucosome	Leucosome
									Aluminosilicate	Aluminosilicate
									Dunite	Dunite
									Pyroxenite	Pyroxenite
									Augite	Augite
									Actinolite	Actinolite
									Chlorite	Chlorite
									Ilmenite	Ilmenite
									Limonite	Limonite
									Leucosome	Leucosome
									Aluminosilicate	Aluminosilicate
									Dunite	Dunite
									Pyroxenite	Pyroxenite
									Augite	Augite
									Actinolite	Actinolite
									Chlorite	Chlorite
									Ilmenite	Ilmenite
									Limonite	Limonite
									Leucosome	Leucosome
									Aluminosilicate	Aluminosilicate
									Dunite	Dunite
									Pyroxenite	Pyroxenite
									Augite	Augite
									Actinolite	Actinolite
									Chlorite	Chlorite
									Ilmenite	Ilmenite
									Limonite	Limonite
									Leucosome	Leucosome
									Aluminosilicate	Aluminosilicate
									Dunite	Dunite
									Pyroxenite	Pyroxenite
									Augite	Augite
									Actinolite	Actinolite
									Chlorite	Chlorite
									Ilmenite	Ilmenite
									Limonite	Limonite
									Leucosome	Leucosome
									Aluminosilicate	Aluminosilicate
									Dunite	Dunite
									Pyroxenite	Pyroxenite
									Augite	Augite
									Actinolite	Actinolite
									Chlorite	Chlorite
									Ilmenite	Ilmenite
									Limonite	Limonite
									Leucosome	Leucosome
									Aluminosilicate	Aluminosilicate
									Dunite	Dunite
									Pyroxenite	Pyroxenite
									Augite	Augite
									Actinolite	Actinolite
									Chlorite	Chlorite
									Ilmenite	Ilmenite
									Limonite	Limonite
									Leucosome	Leucosome
									Aluminosilicate	Aluminosilicate
									Dunite	Dunite
									Pyroxenite	Pyroxenite
									Augite	Augite
									Actinolite	Actinolite
									Chlorite	Chlorite
									Ilmenite	Ilmenite
									Limonite	Limonite
									Leucosome	Leucosome
									Aluminosilicate	Aluminosilicate
									Dunite	Dunite
									Pyroxenite	Pyroxenite
									Augite	Augite
									Actinolite	Actinolite
									Chlorite	Chlorite
									Ilmenite	Ilmenite
									Limonite	Limonite
									Leucosome	Leucosome
									Aluminosilicate	Aluminosilicate
									Dunite	Dunite
									Pyroxenite	Pyroxenite
									Augite	Augite
									Actinolite	Actinolite
									Chlorite	Chlorite
									Ilmenite	Ilmenite
									Limonite	Limonite
									Leucosome	Leucosome
									Aluminosilicate	Aluminosilicate
									Dunite	Dunite
									Pyroxenite	Pyroxenite
									Augite	Augite
									Actinolite	Actinolite
									Chlorite	Chlorite
									Ilmenite	Ilmenite
									Limonite	Limonite
									Leucosome	Leucosome
									Aluminosilicate	Aluminosilicate
									Dunite	Dun

Ref. No.	Filing No	62-H-2019	62-H-2041	62-H-2053	62-H-2064	62-H-2065	62-H-2078	62-H-2079	62-H-3012	62-H-3015	62-H-3116
LAD No.											
T.W.S.	75 cc	95 cc	95 cc	34 cc	150 cc	53 cc	48 cc	44 cc	75 cc	90 cc	
S.W.	15 cc	15 cc	15 cc	15 cc	15 cc	15 cc	15 cc	15 cc	15 cc	15 cc	
H.H.W.	0.9 cc	0.9 cc	0.9 cc	0.4 cc	0.4 cc	0.3 cc	0.8 cc	0.4 cc	0.2 cc	0.5 cc	0.9 cc
Galanite	-	-	-	d	-	15	-	15	-	15	
Cerussite	-	-	-	15	15	15	-	15	15	15	
Mallachite	-	-	-	15	15	15	-	15	15	15	
Molybdenite	-	-	-	15	15	15	-	15	15	15	
Cinnabar	-	-	-	15	15	15	-	15	15	15	
Gold	-	-	-	15	15	15	-	15	15	15	
Scheelite	-	-	-	15	15	15	-	15	15	15	
T.A = 90%.	Volumetric estimation	PA = 10%	PA = 30%	T.W.S. = Total weight of sample	A = 60% - 90%	Pt. gain	R = 1% - 10%	M = 30% - 60%	d = 1%		
				S.W. = Study weight							
				H.M.W. = Heavy minerals weight							

Cost of Analysis:

Date of Report:

Request and Report No:

Requested by:

### Heavy Mineral Laboratory

### Mineralogical Section

*Georgian literary history*

## Meteorological Section

Ref. No.:

el. 1260:

## Mineral Resources Department

## Mineralogical Section

Ref. To :

## Heavy Mineral Laboratory

Requested by:

درخواست کننده:

Request and Report No:

شماره درخواست و تاریخ:

Date of Report:

تاریخ تاریخ:

Cost of Analysis:

هزار تدریجی:

Field No.	62-H-5109	62-H-5111	62-H-5119	62-H-5128	62-H-5129	62-H-5147	62-H-5156	62-H-5163	62-H-5169	62-H-5176
Lab No.										
T.W.S.	103 cc	117 cc	31 cc	87 cc	68 cc	113 cc	50 cc	103 cc	87 cc	87 cc
S.W.	14.5 cc	14 cc	15 cc	10 cc	15.5 cc	14 cc	13 cc	16 cc	15 cc	15 cc
H.M.W.	0.6 cc	0.3 cc	0.2 cc	0.1 cc	0.2 cc	0.5 cc	0.2 cc	0.4 cc	0.3 cc	0.5 cc

## Volumetric estimation

TA  $\geq$  90% PA = 10% - 30% T.W.S = Total weight of sampleA  $\leq$  60% - 90% Pt = 1 grain R = 1% - 10% S.W. = Study weightM = 30% - 60% d  $\leq$  1% H.M.W. = Heavy minerals weight

Scheelite										
Gold										
Cinnabar										
Molybdenite										
Chalcopyrite										
Malachite										
Galena	-	-	-	-	-	pts	-	=	pts	pts
Cerussite										
Wulfénite										
Descloizite										
Barite	R	PA	PA	R	d	R	R	R	PA	M
Celestite										
Apatite										
Zircon										
Rutile										
Sphene										
Anatase										
Leucoxene										
Chromite										
Ilmenite										
Pyrite										
Pyrite Oxidized	pts	d								
Magnetite	pts	pts				pts		pts	pts	pts
Hematite	M	M	M	M	M	M	M	M	M	M
Limonite	R	R	d	R	R	R	R	R	R	d
Martite										
Oligisite										
Geothite										
Amphiboles										
Pyroxenes										
Epidotes										
Biotite										
Carnet	pts	pts	pts	pts	-	-	-	pts	pts	pts
Tourmaline	-	pts		pts				pts	pts	pts
Manganese oxide										
phosphate	R	Pts	R	R	pts	R	Pt	R	d	R
Marcasite	PTS	-	d	PTS	PTS	-	-	-	-	PTS
Cal-Carbonate	R	d	pts	d	pts	d	-	-	-	PTS
Glaucanite	PTS	pts	pts	pts	-	-	pts	pts	pts	pts
Altered silicate	M	PA	M	PA	R	PA	PA	PA	PA	R

၁၃၇

Cost of Analysis:

Date of Report:

**Request and Report No:**

Requerido por

## Heavy Mineral Laboratory

ANALOGICAL Section

Kef. 70

8 12333

## Mineral Resources Department

## Mineralogical Section

Ref. To :

## Heavy Mineral Laboratory

Requested by:

درخواست کننده:

Request and Report No:

شماره درخواست و گزارش:

Date of Report:

تاریخ گزارش:

Cost of Analysis:

هزینه تجزیه:

Field No	62-H-300h	62-H-3013	62-H-4379	62-H-4387	62-H-4101	62-H-4110	62-H-4115	62-H-4117	62-H-4122	62-H-5106
Lab No										
T.W.S.	98 cc	90 cc	99 cc	93 cc	211 cc	259 cc	105 cc	130 cc	88 cc	140 cc
S.W.	11 cc	13 cc	13 cc	12 cc	15 cc	13 cc	13 cc	10 cc	12 cc	9 cc
H.M.W.	0.3 cc	0.2 cc	0.5 cc	0.2 cc	0.4 cc	0.2 cc	0.3	0.1 cc	0.1 cc	0.6 cc

## Volumetric estimation

TA  $\approx$  90%PA  $\approx$  10% - 30%

T.W.S = Total weight of sample

A  $\approx$  60% - 90% Pt = 1 grainR  $\approx$  1% - 10%

S.W. = Study weight

M  $\approx$  30% - 60%d  $\leq$  1%

H.M.W. = Heavy minerals weight

Scheelite

Gold

Cinnabar

pts

Molybdenite

Chalcopyrite

Malachite

Galena

Cerussite

Wulfénite

Descloizite

Barite PA PA M R R PA pts pts M

Celestite

Apatite

Zircon

Rutile

Sphene

Anatase

Leucoxene

Chromite

Ilmenite

Pyrite

pts

Pyrite Oxidized

Magnetite

Hematite

Limonite

Martite

Oligisite

Gehrige

Amphiboles

Pyroxenes

Epidotes

Biotite

Carnot

Tourmaline

Manganese oxide

Phosphate

Ca carbonate

Marcasite

An oxide

Altered silicate

PA

PA

M

PA

PA

R

M

PA

PA

R

M

PA

PA

## Mineral Resources Department

## Mineralogical Section

Ref. To :

## Heavy Mineral Laboratory

Requested by:

درخواست کننده:

Request and Report No:

شماره درخواست و گزارش:

Date of Report:

تاریخ گزارش:

Cost of Analysis:

هزار تومان:

Field No	62-H-6108	62-H-6100	62-H-6104	62-H-612	62-H-6132	52-H-6145	62-H-6149	62-H-6167	62-H-6173	62-H-6178
Lab No.										
T.W.S.	104 cc	81 cc	82 cc	150 cc	96 cc	145 cc	124 cc	99 cc	95 cc	158 cc
S.W.	51 cc	42 cc	42 cc	76 cc	48 cc	12 cc	14 cc	11 cc	10 cc	14 cc
H.M.W.	0.5 cc	0.6 cc	0.5 cc	1.3 cc	0.4 cc	0.5 cc	0.1 cc	0.4 cc	0.1 cc	0.6 cc

## Volumetric estimation

TA = 90%

PA = 10% - 30%

T.W.S = Total weight of sample

A = 60% - 90% Pt = 1 grain

R = 1% - 10%

S.W. = Study weight

M = 30% - 60%

d ≤ 1%

H.M.W. = Heavy minerals weight

Scheelite										
Gold										
Cinnabar										
Molybdenite										
Chalcopyrite										
Malachite										
Galena										
Cerussite										
Wulfenite										
Descloizite										
Barite	d	d	d	R	R	pts	pts	R	PA	PA
Celestite										
Apatite	.			pts	pts	pts				
Zircon				pts	pts					
Rutile	pts	pts			pts	pts				
Sphene										
Anatase										
Leucoxene										
Chromite										
Ilmenite										
Pyrite										
Pyrite Oxidized	pts	pts	pts	pts	d		pts	pts	pts	pts
Magnetite	pts	pts	pts	pts			pts	pts	pts	pts
Hematite	m	m	m	m	m	PA	PA	m	PA	m
Limonite	R	PA	pt	R	PA	pts	d	d	PA	R
Marrite										
Oligisite										
Geothite										
Amphiboles										
Pyroxenes	d	pts	pts	pts	pts		pts	pts	pts	pts
Epidotes										
Biotite										
Carnet	pts			pts	pts					
Tourmaline										
Manganese oxide										
phosphate	pts	pts	pts	d	d	d	d	R	R	R
Lead sulfate	pts									
Calcium carbonate	pts	pts		d	d			d		
Marcasite								d		pts
Mn oxide	pts	pts	pts	d	d					
Altered silicate	m	m	m	PA	PA	A	A	PA	A	m

## Mineral Resources Department

## Mineralogical Section

Ref. To :

## Heavy Mineral Laboratory

Requested by:

درخواست کننده:

Request and Report No:

شماره درخواست و گزارش:

Date of Report:

تاریخ گزارش:

Cost of Analysis:

هزینه تجزیه:

Field No.	62-H-6015	62-H-6118	62-H-6052	62-H-6054	62-H-6059	62-H-6064	62-H-6078	62-H-6077	62-H-6077	62-H-6076	62-H-6075
Lab No.											
T.W.S.	224 cc	142 cc	140 cc	216 cc	79 cc	72 cc	59 cc	88 cc	101 cc	115 cc	
S.W.	53 cc	35 cc	33 cc	52 cc	40 cc	72 cc	59 cc	44 cc	55 cc	59 cc	
H.M.W.	0.4 cc	0.2 cc	0.4 cc	0.5 cc	0.5 cc	0.9 cc	0.5 cc	1.5 cc	1.8 cc	1.5 cc	

## Volumetric estimation

TA ≥ 90%

PA = 10% - 30%

T.W.S = Total weight of sample

A = 60% - 90% Pt = 1 grain

R = 1% - 10%

S.W. = Study weight

M = 1% - 60%

d ≤ 1%

H.M.W. = Heavy minerals weight

Scheelite

Gold

Cinnabar

pts

Molybdate

Chalcopyrite

Malachite

Galena

Cerussite

Wulfénite

Descloizite

Barite

d R R R d J R PA PA R

Celestite

Apatite

Zircon

Rutile

Sphene

Anatase

Leucoxene

Chromite

Ilmenite

Pyrite

Pyrite Oxidized

pts pts

Magnetite

pts pts pts pts pts d pts d d d

Hematite

A M A M A A M M M M M

Limonite

R PA R R d R PA R PA PA

Martite

Oligisite

Geothite

Amphiboles

Pyroxenes

pts pts

Epidotes

pts pts pts pts pts pts pts d pts

Biotite

Carnet

Tourmaline

Manganese oxide

pts pts d R pts pts d pts pts d

phosphate

pts d d R pts pts d d d d d

Ca-carbonate

pts d d pts pts d d d d d

Marcasite

pts pts d pts pts d pts pts

Mn-oxide

A pts R d d pts pts R R R

Altered silicate

PA PA PA PA PA PA PA PA PA PA

## Mineral Resources Department

## Mineralogical Section

Ref. To :

## Heavy Mineral Laboratory

Requested by:

درخواست کننده:

Request and Report No:

شماره درخواست و گزارش:

Date of Report:

تاریخ گزارش:

Cost of Analysis:

هزینه تجزیه:

Field No	62-H-5046	62-H-5047	62-H-5049	62-H-5062	62-H-5069	62-H-5070	62-H-5071	62-H-5081	62-H-5083	62-H-5085
Lab No.										
T.W.S.	136 cc	78 cc	66 cc	46 cc	45 cc	144 cc	176 cc	70 cc	122 cc	145 cc
S.W.	32 cc	38 cc	32 cc	46 cc	45 cc	34 cc	39 cc	34 cc	53 cc	35 cc
H.M.W.	0.9 cc	2 cc	1.9 cc	0.3 cc	0.5 cc	0.4 cc	0.5 cc	2 cc	0.3 cc	0.5 cc

## Volumetric estimation

TA ≥ 90%

PA ± 10% - 30%

T.W.S = Total weight of sample

A = 60% - 90% Pt = grain

R = 1% - 10%

S.W. = Study weight

M = 30% - 60%

d ≤ 1%

H.M.W. = Heavy minerals weight

Scheelite										
Gold										
Cinnabar										
Molybdenite										
Chalcopyrite										
Malachite										
Galena										
Cerussite										
Wulfénite										
Descloizite										
Barite	R	R	M	R	d	R	R	R	R	d
Celestite										
Apatite										
Zircon	pts			pts		pts	pts	pts	pts	
Rutile				pts				pts		
Sphene										
Anatase										
Leucoxene										
Chromite								pts		
Ilmenite	pts			pts	pts	pts	pts	pts	pts	
Pyrite				pts	pts	pts	pts	pts	pts	
Pyrite Oxidized	pts	pts	R	d	pts	pts	d	d	d	R
Magnetite	pts	pts	pts	d	d	d	d	d	pts	pts
Hematite	M	M	M	M	M	M	A	A	A	M
Limonite	d	PA	R	PA	R	R	d	R	d	L
Martite										
Oligisite										
Geothite										
Amphiboles										
Pyroxenes	pts									
Epidotes										
Biotite										
Carnet	pts									
Tourmaline										
Manganese oxide										
phosphate	R	R	d	d	R	R	R	R	R	R
Marcasite	pts	-	pts	pts	pts	d	d	d	pts	-
Ca-carbonate	R	R	d	pts	pts	d	d	d	d	d
Lead-sulfide	its	d	d	d	d	d	d	d	d	d
Mn-oxide	its	d	d	d	d	d	d	d	d	d
clayminerals	pts	pts	pts	pts	d	d	pts	pts	pts	
Altered silicate	R	PA	PA	PA	PA	M	PA	PA	PA	PA

અનુષ્ઠાનિક

۲۰۲ میں:

蒙古文書

مِنْ مَوْعِدٍ

卷之三

S: 100 Pd

Heavy Mineral Laboratory

www.sagepub.com/journals

## Sect. I. Introduction.

#### General Resources Department

S: 100 Pd

## Mineral Resources Department

## Mineralogical Section

Ref. To :

## Heavy Mineral Laboratory

Requested by:

درخواست کننده:

Request and Report No.:

شماره درخواست و گزارش:

Date of Report:

تاریخ گزارش:

Cost of Analysis:

هزای تجزیه:

Field No.	61-H-6001	61-H-6021	61-H-6032	61-H-6039	62-H-6038	62-H-6028	62-H-2009	62-H-4003	62-H-4038	62-H-4041
Lab No.										
T.W.S.	130 " "	85 " "	90 " "	75 " "	70 " "	175 " "	270 " "	190 " "	210 " "	135 " "
S.W.	100 " "	85 " "	90 " "	75 " "	70 " "	50 " "	65 " "	45 " "	50 " "	77 " "
H.M.W.	0.7 " "	5 " "	2.1 " "	0.5 " "	0.6 " "	108 " "	0.4 " "	0.5 " "	0.2 " "	1 " "

## Volumetric estimation

TA = 90% PA = 10% - 30%

T.W.S = Total weight of sample

A = 60% - 90% Pt = 1 grain R = 1% - 10%

S.W. = Study weight

M = 30% - 60% d ≤ 1%

H.M.W. = Heavy minerals weight

Scheelite										
Gold										
Cinnabar						pts				
Molybde										
Chalcopyrite		pts								
Malachite										
Galena										
Cerussite										
Wulfénite										
Descloizite										
Barite	PA	PA	PA	R	R	R	R	R	PA	R
Celestite										
Apatite										
Zircon										
Rutile		pts								
Sphene										
Anatase			pts				pts		pts	
Leucoxene										
Chromite										
Ilmenite										
Pyrite		pts	pts			pts	pts			
Pyrite Oxidized	pts	d	d	pts						
Magnetite	d	d	d	pts	pts	d	pts	pts	pts	d
Hematite	PA	PA	M	A	A	PA	A	A	M	M
Limonite	PA	K	PA	R	d	R	R	R	R	R
Martite										
Oligisite										
Geothite						pts	d	d	d	d
Amphiboles										
Pyroxenes	pts	pts			pts	pts			pts	pts
Epidotes		pts	pts				pts		pts	R
Biotite										
Garnet									pts	pts
Tourmaline		pts		pts					pts	pts
Manganese oxide										
Phosphate	PA	pts	pts	PA	R	d	d	R	PA	R
Marcasite	R	d	pts			pts	pts	pts		pts
Fluorite		pts								
Ca-carbonate									d	pts
Clay Can. Te	d	pts	pts	pts	pts			pts	d	pts
Alexanderite?		pts								
Altered silicate	R	R	PA	d	R	m	R	R	R	R

مکالمہ

卷之三

مکالمہ

Heavy Mineral Laboratory

**GENERAL RESOURCES** Department

HEF.TD

**Request and Report No:**

Date of Report:

**Request and Report No:**

*Reunited by*